

**ВСЕСОЮЗНЫЙ НАУЧНО-ИССЛЕДОВАТЕЛЬСКИЙ ИНСТИТУТ
ТРАНСПОРТНОГО СТРОИТЕЛЬСТВА**

**МЕТОДИЧЕСКИЕ РЕКОМЕНДАЦИИ
ПО ГИДРАВЛИЧЕСКОМУ РАСЧЕТУ
МЕТАЛЛИЧЕСКИХ ГОФРИРОВАННЫХ ТРУБ**

Москва 1979

**ВСЕСОЮЗНЫЙ НАУЧНО-ИССЛЕДОВАТЕЛЬСКИЙ ИНСТИТУТ
ТРАНСПОРТНОГО СТРОИТЕЛЬСТВА**

**МЕТОДИЧЕСКИЕ РЕКОМЕНДАЦИИ
ПО ГИДРАВЛИЧЕСКОМУ РАСЧЕТУ
МЕТАЛЛИЧЕСКИХ ГОФРИРОВАННЫХ ТРУБ**

Москва 1979

УДК 624.21-462.014.2-417.2:582.542.001.24

Редактор Н. И. Шкуренко
Корректор О. Д. Сухова

Подп. к печ. 22.У1.79г. Объем 5,75 печ. л.
Заказ 407. Тираж 180 экз.
Ротапринт ЦИИИСа

© Всесоюзный научно-исследовательский институт
транспортного строительства, 1979

ПРЕДИСЛОВИЕ

Широкое распространение в практике транспортного строительства металлических гофрированных труб, обладающих существенно большей шероховатостью, чем технически гладкие, вызвало необходимость выполнения ряда расчетов, учитывающих особенности их гидравлической работы: возможность работы гофрированных труб с любыми типами оголовков в напорном или частично-напорном режиме, ограничение (по условиям прочности конструкции) предельного уклона укладки труб ($i_{\text{пр}} = 0,05$), целесообразность применения многоярусных труб и др.

Настоящие Методические рекомендации предназначены для определения пропускной способности одночковых и многочковых металлических гофрированных труб и расчета их полной длины.

Методические рекомендации рассмотрены и одобрены Главгипротрансом, Мосгипротрансом и Союздирпроектотом и рекомендованы Главгипротрансом для использования в проектной практике при выполнении гидравлических расчетов металлических гофрированных водопропускных труб на железных и автомобильных дорогах.

Методические рекомендации разработаны на основе экспериментальных и теоретических исследований в лаборатории Московской гидравлики и гидрологии, отделения исследований и проектирования железных дорог ЦНИИСа канд. техн. наук Г.И. Волчанцовым при участии канд. техн. наук В.И. Алтунина (МНИИ) и инженеров Н.С. Невской (ЦНИИС) и А.А. Александрова (Мосгипротранс) под общим руководством канд. техн. наук В.В. Невского.

Зав. директором института

Н. Б. СОКОЛОВ

Руководитель отделения замыканий
и проектирования железных дорог

А. М. КОЗЛОВ

І. ОБЩИЕ ПОЛОЖЕНИЯ

І.І. Согласно настоящим Методическим рекомендациям рассчитываются металлические гофрированные трубы с наиболее распространенным в отечественной практике типом гофра 130 x 32 мм. С некоторым приближением могут выполняться также расчеты труб с другими типами гофров.

І.2. В работе даются рекомендации по выполнению гидравлических расчетов, характерных для гофрированных труб. Гидравлические расчеты, общие для всех типов водопропускных труб, в ней не приводятся, а излагается лишь последовательность таких расчетов и в необходимых случаях даются ссылки на источники, где можно найти отсутствующие в настоящих Методических рекомендациях виды расчетов.

І.3. Гофрированные трубы отличаются от "гладких" в гидравлическом отношении существенно большими критическими уклонами, величина которых при безнапорном режиме достигает 0,02-0,03. Для обеспечения максимальной водопропускной способности уклоны гофрированных труб должны быть не меньше указанных значений и в крайнем случае не меньше 0,01.

В каждом конкретном случае предварительно устанавливается критический уклон сооружения i_k . Учитывая критический уклон сооружения и уклон местности, назначают уклон трубы i_T с соблюдением условия

$$i_T \geq i_k \quad (I)$$

В случае несоождения условия (I) пропускная способность трубы понижается, причем при $i_T \geq 0,01$ этим можно пренебречь, при $i_T < 0,01$ реальная пропускная способность сооружения должна устанавливаться в соответствии с "Руководством по гидравлическим расчетам малых искусственных сооружений" (М., Транспорт, 1974), а с некоторым приближением - настоящими Методическими рекомендациями.

І.4. Пропускная способность труб согласно данным Методическим рекомендациям определяется исходя из условий

входа равнинного типа, при котором перед сооружением образуется выемка, характеризующаяся подпортой глубиной. При этом поток поступает в трубу в спокойном состоянии.

Вход указанного типа имеют все водопропускные трубы без подходных выстрожек, подводящих поток к сооружению в овражном состоянии.

Для труб, имеющих на входе выстрожку, проверяют возможность входа потока в трубу в бурном состоянии. Порядок расчета приводится в "Руководстве по гидравлическим расчетам малых искусственных сооружений".

Если в результате расчета окажется, что имеет место вход равнинного типа, то гидравлические расчеты производят согласно настоящим Методическим рекомендациям, как для равнинных труб. В противном случае трубы по условиям входа являются короткими и их гидравлические расчеты производят в соответствии с требованиями "Руководства по гидравлическим расчетам малых искусственных сооружений".

1.5. Настоящими Методическими рекомендациями предусматривается выполнение гидравлических расчетов в двух вариантах: при наличии малейшего лотка и при его отсутствии.

1.6. Рекомендации даны для тупиковых труб без оголовков со срезом перпендикулярно оси трубы, с оголовком, срезанным параллельно откосу, с оголовком типа "вапшоп" и растрюжым с углом растрюжности $\alpha = 20^\circ$ (рис.1).

2. ОПРЕДЕЛЕНИЕ ПРОПУСКНОЙ СПОСОБНОСТИ ТРУБ

"длинными" и "короткими" трубами. Учет влияния
нижнего бьефа

2.1. Трубы, на пропускную способность которых при безнапорном и полупонапорном режимах оказывает влияние их длина, называют "длинными" в гидравлическом отношении. У "коротких" это влияние отсутствует.

2.2. "Короткими" считаются трубы, для которых сообразно условиям

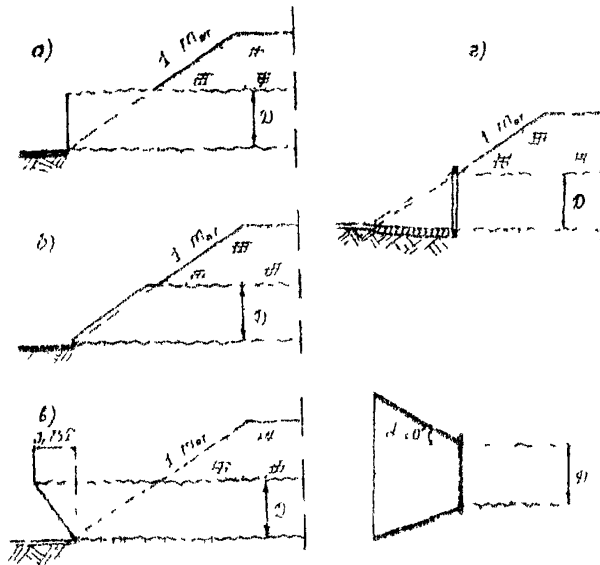


Рис.1. Типы оголовков труб:
 а - труба без оголовка со срезом перпендикулярно оси трубы; б - то же со срезом параллельно откосу; в - оголовок типа "капюшон"; г - раструбный оголовок

2.3. Критический уклон для наиболее распространенных отверстий труб с гладкими лотками диаметром 1,5 или 2,0 м определяет по графику рис.2 в функции параметра расхода

$$H_0 = \frac{Q}{\pi \sqrt{g} D}$$

где Q - расход в сооружении;

D - диаметр трубы;

g - ускорение силы тяжести.

Для остальных отверстий критический уклон вычисляют по формуле

$$i_k \approx i_{k(1,5)} \sqrt{\frac{D_{гр}}{D}} \quad (2)$$

где $i_{k(1,5)}$ и $D_{гр}$ соответственно критический уклон и диаметр трубы, представленной на рис.2. Это может быть $D = 1,5$ или 2,0 м.

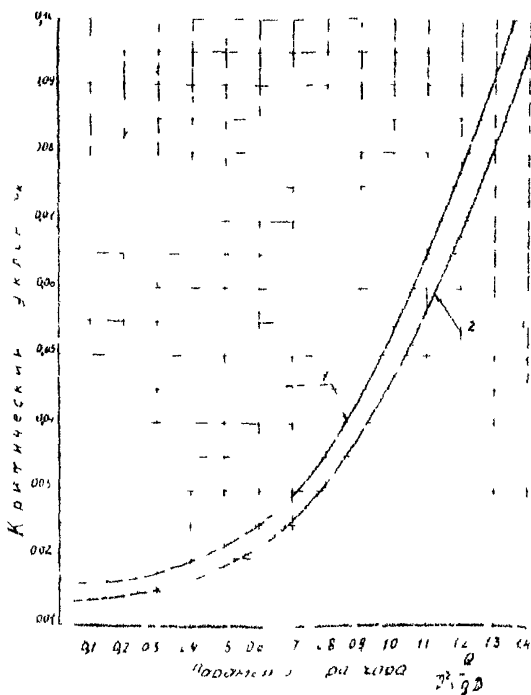


Рис. 2. График для определения критического уклона i_{cr} для круглых гофрированных труб с гладкими лотками ($f_{1,в} = 0,025$):

1 - $D \approx 1,5$ м; 2 - $D \approx 2,0$ м

При $l_r > l_{cr}$ с некоторым приближением "короткими" можно считать трубы при соблюдении критерия относительной длины

$$\frac{l_r}{D} \leq 20,$$

где l_r - длина трубы.

2.4. Приходимые ниже в настоящей главе зависимости для определения пропускной способности труб при безнапорном и полунанпорном режимах относятся к "коротким" трубам.

2.5. Глубины на входе и подпорные глубины перед "длинными" трубами определяют по формулам, полученным из аналогичных зависимостей для гладких труб, приведенных в

"Руководстве по гидравлическим расчетам малых искусственных сооружений", с введением в них коррективы для учета повышенной шероховатости гофрированных труб:

$$\frac{h_{\text{вх(эл)}}}{D} = \frac{h_{\text{вх}}}{D} + 0,007 \left(\frac{e_{\Gamma}}{D} - 20 \right) \left(\frac{h_{\text{вх}}}{D} \right)^2 \frac{11_{\text{гофро}}}{11} \quad (3, \text{в})$$

$$\frac{H_{\text{эл}}}{D} = \frac{H}{D} + 0,005 \left(\frac{e_{\Gamma}}{D} - 20 \right) \left(\frac{H}{D} \right)^2 \frac{11_{\text{гофро}}}{11} \quad (3, \text{б})$$

где $\frac{h_{\text{вх}}}{D}$ и $\frac{H}{D}$ — соответственно относительная глубина на входе и относительная подпорная глубина для "коротких" труб;

$11 = 0,015$ и $11_{\text{гофро}}$ — коэффициенты шероховатости соответственно для гладких и гофрированных труб.

2.6. При значительной бытовой глубине водотока происходит затопление труб со стороны нижнего бьефа, что также снижает их пропускную способность.

С некоторым приближением можно считать, что критерии затопления труб со стороны нижнего бьефа, полученные для гладких труб, сохраняются и для гофрированных, т.е. незатопленными будут трубы при соблюдении условий

$$h_{\text{нб}} \geq 1,25 h_{\text{к}} \quad \text{и} \quad h_{\text{нб}} \geq 1,1 h_{\Gamma}, \quad (4)$$

где $h_{\text{нб}}$ — глубина в нижнем бьефе над нижней точкой дна трубы в выходном сечении;

$h_{\text{к}}$ — критическая глубина в трубе;

h_{Γ} — высота трубы.

критическую глубину в круглых трубах определяют по графику (рис.3).

Более точно учет затопления производится согласно "Руководству по гидравлическим расчетам малых искусственных сооружений".

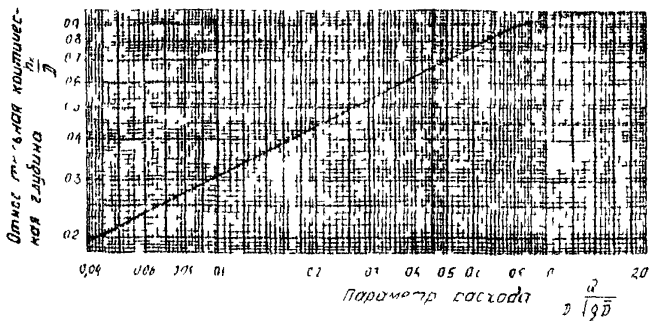


Рис.3. График для определения критической глубины в круглых трубах

Режимы протекания потока

2.7. Различают следующие режимы работы гофрированных труб:

безнапорный, когда входное сечение не затоплено и на всем протяжении трубы поток имеет свободную поверхность (рис.4,а);

полунанпорный, когда входное сечение трубы затоплено, т.е. на входе труба работает полным сечением, а на оставшемся протяжении поток имеет свободную поверхность (см.рис.4,б);

частично-напорный режим, когда входное сечение трубы затоплено и на какой-то части, примыкающей к входу, труба работает полным сечением (см.рис.4,в);

напорный режим, когда труба на всем своем протяжении работает полным сечением (см.рис.4,г).

2.8. Безнапорный режим протекания в трубах сохраняется до полного затопления входного сечения, что характеризуется условием

$$\frac{h_{ex}}{D} < 1 ,$$

где h_{ex} - глубина на входе в трубу;
 D - диаметр входного сечения, считая по впадинам гофра (наименьший диаметр).

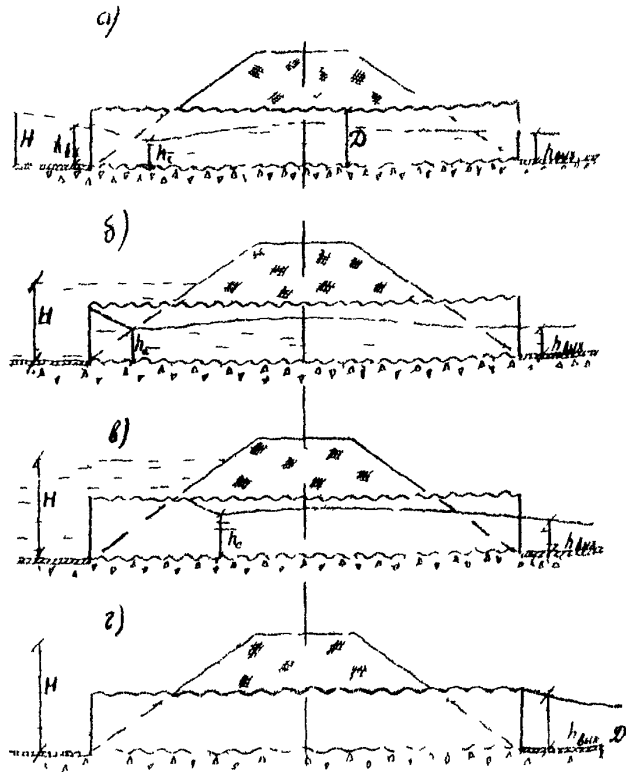


Рис.4. Режимы протекания потока в трубе:
 а - безнапорный; б - полунепорный; в - частично-напорный; г - напорный
 $h_{вх}$, $h_{вых}$, h_c - соответственно глубины на входе в трубу, на выходе из нее и сжатия

2.9. Возможность существования безнапорного режима и заполнения трубы на входе в "короткие" трубы определяют по графику (рис.5), на котором приведены зависимость относительной глубины потока на входе в трубу $\frac{h_{вх}}{D}$ от параметра расхода, $\Pi_a = \frac{Q}{v^2 \sqrt{D}}$. Этот же график позволяет по заданному заполнению установить соответствующую ему величину расхода.

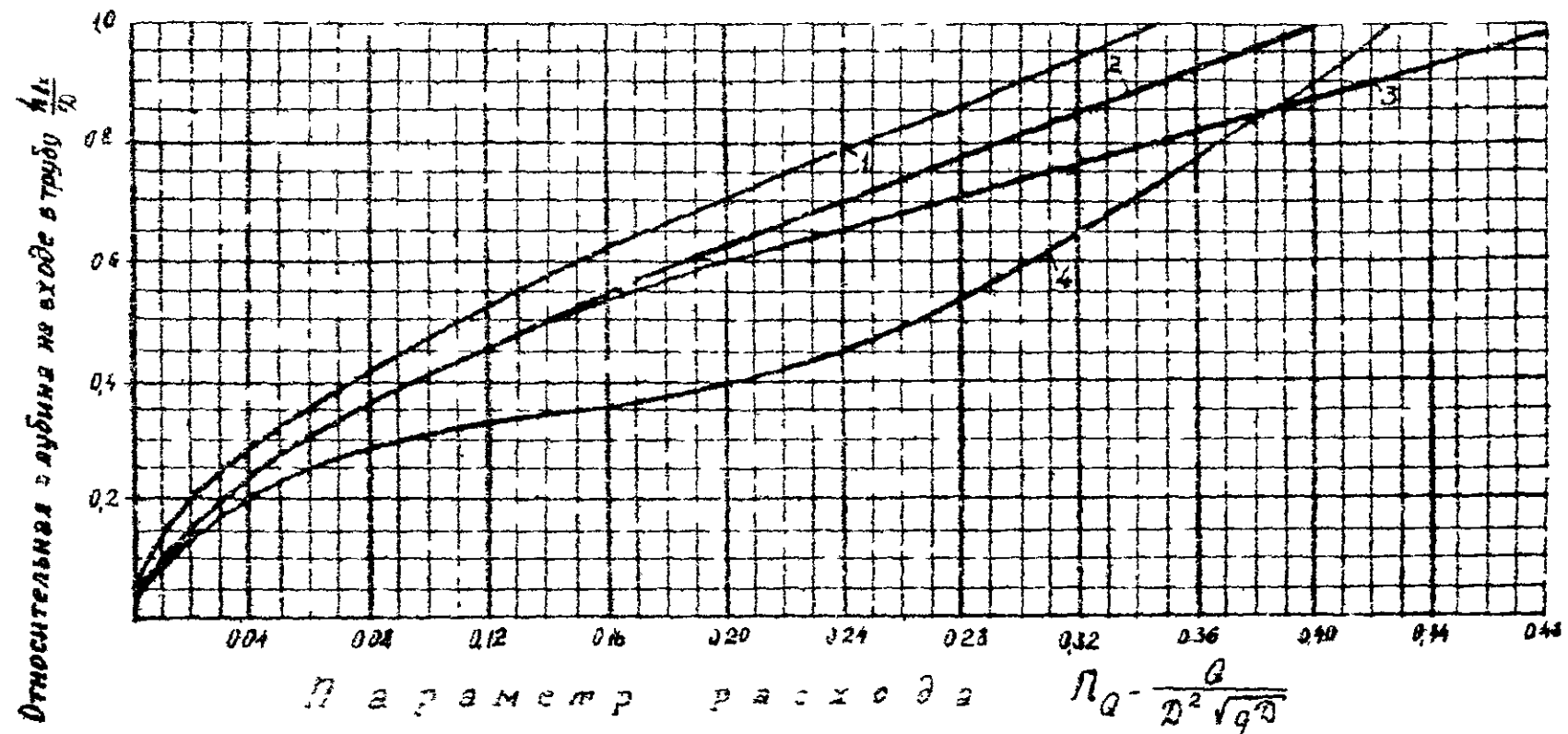


Рис. 5. График для определения глубины потока на входе в трубу при различных типах отверстий:
 1 - отверстие типа "капельное"; 2 - труба без отверстий с вертикальным срезом; 3 - разгруженный головкой ($\alpha = 200$); 4 - отверстие с срезом параллельно оси трубы

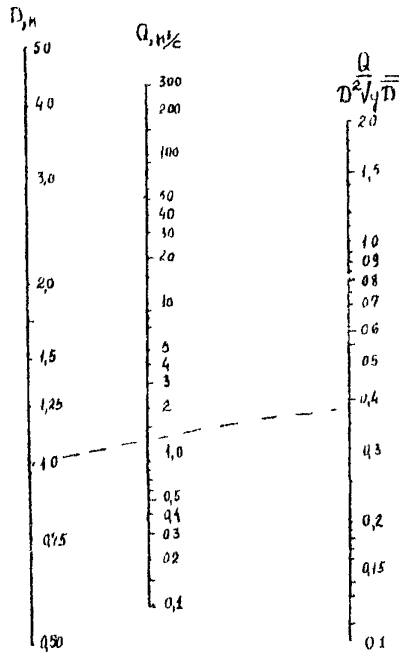


Рис. 6. Номограмма для определения безразмерного параметра расхода для круглых труб

$$П_а = \frac{Q}{D^2 \sqrt{gD}}$$

где $\left(\frac{H_r}{D}\right)^i$ — относительная граничная подпертая глубина для труб без гладких лотков, определяемая по графику (рис. 7) в зависимости от относительной длины трубы $\frac{l}{D}$ и ее уклона i ,

K_s — коэффициент увеличения относительной граничной подпертой глубины в трубах с гладкими лотками, который вычисляется по формуле

$$K_s = \frac{1}{0,98 + 0,1} \quad (6)$$

Параметр расхода может быть определенно по формуле (рис. 6).
 2. I. При $\frac{h_{ог}}{D} \geq 1$ и $\frac{Q}{D^2 \sqrt{gD}} \geq 1,35$ в трубе возникнет напорный режим протекания потока.

2. II. При $\frac{h_{ог}}{D} > 1$ и $\frac{Q}{D^2 \sqrt{gD}} < 1,35$ в трубе с оголовками всех типов возможен полунпорный или частично-напорный режим. В этом случае режим протекания определяют в такой последовательности:

1. Вычисляют подпертую глубину перед трубой H при полунпорном режиме (см. п. 2. Iб).

2. Находят относительную граничную подпертую глубину потока $\frac{H_r}{D}$, соответствующую верхней границе полунпорного режима (началу возникновения частично-напорного режима), по формуле

$$\frac{H_r}{D} = K_s \left(\frac{H_r}{D}\right)^i \quad (5)$$

Здесь δ - доля, занимаемая гофрированной поверхностью в поперечном сечении трубы (вся поверхность за вычетом части ее, занимаемой гладким лотком, отнесенная ко всей поверхности);

m - показатель степени,

При $0,01 \leq l_T \leq 0,05$

$$m = 5\sqrt{l_T}. \quad (7)$$

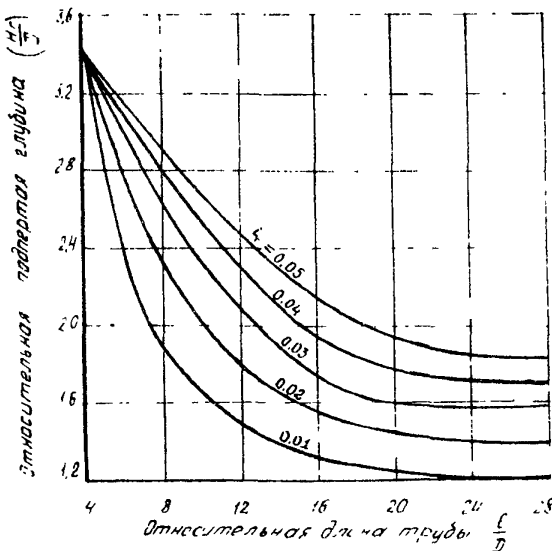


Рис. 7. График для определения относительной граничной подпертой глубины $\frac{H_c}{D}$ для гофрированной трубы без гладкого лотка при разных ее уклонах

Коэффициент K_g можно также определить по графику (рис. 8).

3. Сравнивая относительную подпертую глубину $\frac{H}{D}$ с относительной граничной подпертой глубиной $\frac{H_c}{D}$ и устанавливая режимы протекания потока:

при $\frac{H}{D} < \frac{H_c}{D}$ полунепорный;

при $\frac{H}{D} \geq \frac{H_c}{D}$ частично-напорный.

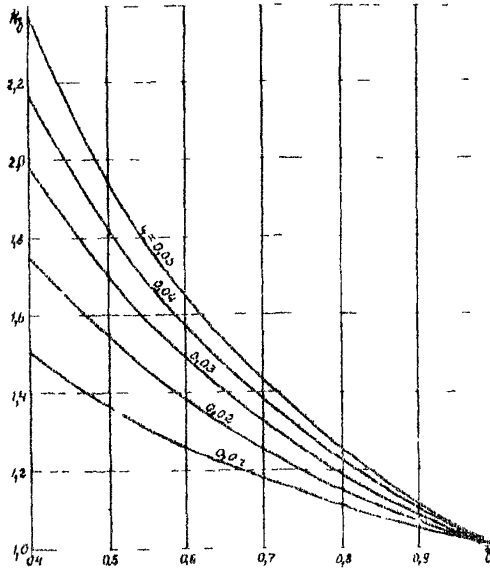


Рис. 8. График для определения коэффициента K_s

2.12. В трубах с оголовками типа "кашпои" при $\frac{h_{ex}}{D} \geq 1$ и $\frac{Q}{D^2 \sqrt{g D}} < 0,645$ возникает полунпорный режим, при $\frac{h_{ex}}{D} > 1$ и $\frac{Q}{D^2 \sqrt{g D}} > 0,645$ — частично-нпорный.

2.13. После установления режима протекания выполняют расчеты пропускной способности труб, в результате которых устанавливают:

- а) по расходу в сооружении — заполнение на входе; подпорную глубину перед трубой, что определяют по возвышению бровки полотна; скорость на выходе для назначения типа укрепления;
- б) по заданной подпорной глубине — расход в сооружении.

Безнапорные и полунпорные трубы

2.14. Подпорную глубину перед безнапорными трубами определяют по формуле

$$H = \left(\frac{Q}{m b_k \sqrt{2g}} \right)^{\frac{2}{3}}, \quad (8)$$

где m — коэффициент расхода, определяемый по табл. I в зависимости от типа входного оголовка;
 b_k — средняя ширина потока при критической глубине, определяемая по табл. 2.

Т а б л и ц а I

Тип оголовка	Коэффициент расхода m
Без оголовка (вертикальный орез)	0,33
Срезанный параллельно откосу	0,33
"Капюшон"	0,33
Раструбный ($\alpha = 20^\circ$)	0,365

2.15. При несовершенном сжатии потока на входе в трубу (ширина по подпертому уровню высоких вод ПУВВ перед входом в трубу менее шести ее отверстий) коэффициент расхода определяют по формуле

$$m = m_{\text{табл}} \frac{(0,385 - m_{\text{табл}}) \omega_n}{3,92 - 2 \omega_n}, \quad (9)$$

где $m_{\text{табл}}$ — значение коэффициента расхода по табл. I;
 Ω — площадь поперечного сечения потока в подводящем русле;
 ω_n — площадь поперечного сечения трубы до отметки подпертого уровня.

2.16. Подпертую глубину перед гофрированными трубами при полунанорном режиме определяют по формуле

$$H = \frac{Q}{2g \omega_{\text{соор}} \mu_n^2 + \epsilon_n D}, \quad (10)$$

где $\omega_{\text{соор}}$ — площадь поперечного сечения трубы;
 μ_n и ϵ_n — соответственно коэффициент расхода и коэффициент сжатия в определяющем сечении при полунанорном режиме, вычисляемые по табл. 3.

Т а б л и ц а 2

$\Pi_a = \frac{Q}{D \sqrt{4D}}$	δ_k D	l_k	при диаметрах труб D , м				
			1,0	1,25	1,5	2,0	3,0
0,02	0,49	0,49	0,61	0,73	0,98	1,47	2,45
0,03	0,52	0,52	0,65	0,78	1,04	1,56	2,60
0,04	0,57	0,57	0,71	0,85	1,14	1,71	2,85
0,05	0,59	0,59	0,73	0,88	1,18	1,77	2,95
0,06	0,62	0,62	0,77	0,93	1,24	1,86	3,10
0,07	0,63	0,63	0,78	0,94	1,26	1,89	3,15
0,08	0,64	0,64	0,80	0,96	1,28	1,92	3,20
0,09	0,66	0,66	0,82	0,99	1,32	1,98	3,30
0,10	0,67	0,67	0,83	1,00	1,34	2,01	3,35
0,12	0,69	0,69	0,86	1,03	1,38	2,07	3,45
0,14	0,72	0,72	0,90	1,08	1,44	2,16	3,60
0,16	0,74	0,74	0,92	1,10	1,47	2,20	3,68
0,18	0,76	0,76	0,94	1,13	1,51	2,26	3,78
0,20	0,77	0,77	0,96	1,15	1,54	2,31	3,85
0,25	0,79	0,79	0,99	1,18	1,58	2,37	3,95
0,30	0,81	0,81	1,01	1,21	1,62	2,43	4,05
0,35	0,82	0,82	1,02	1,23	1,64	2,46	4,10
0,40	0,83	0,83	1,03	1,24	1,66	2,49	4,15
0,45	0,84	0,84	1,04	1,25	1,67	2,50	4,18
0,50	0,84	0,84	1,05	1,26	1,68	2,52	4,20
0,55	0,84	0,84	1,05	1,26	1,68	2,52	4,20
0,60	0,84	0,84	1,05	1,26	1,68	2,52	4,20
0,65	0,84	0,84	1,05	1,26	1,68	2,52	4,20
0,70	0,83	0,83	1,03	1,24	1,66	2,49	4,15

Т а б л и ц а 3

Тип оголовка	M_{II}	ζ_{II}	$\zeta_{вх}$
Без оголовка (с вертикальным срезом)	0,56	0,63	0,70
Срезанный параллельно откосу насыпи	0,52	0,59	1,10
"Капюшон"	0,53	0,64	1,10
Раструбный ($\alpha = 2(^\circ)$)	0,65	0,64	0,35

Напорные и частично-напорные трубы

2.17. Подпорную гидростатическую нагрузку перед гофрированными трубами при напорном режиме определяют по формуле

$$H = \frac{\omega^2}{2g} \lambda_{кор} M_{II} - \zeta_{II} l_1 + \eta_{II} D, \quad (11)$$

где η_{II} — коэффициент, учитывающий характер распределения давлений в определяющем сечении при напорном режиме, принимаемый равным

$\eta_{II} = 0,5$;
 M_{II} — коэффициент расхода при напорном режиме, определяемый по формуле

$$M_{II} = \sqrt{\zeta_{вх} + \lambda \frac{l_1}{D} + \zeta_{внх}} \quad (12)$$

Здесь $\zeta_{вх}$ — коэффициент сопротивления на вход, принимаемый по табл.3;

$\zeta_{внх}$ — коэффициент сопротивления на выход;

λ — коэффициент гидравлических сопротивлений по длине, определяемый по формуле

$$\lambda = \frac{Ug}{R^{1/3}} \quad (13)$$

где $R = \frac{D}{4}$ — гидравлический радиус при полном заполнении трубы.

Коэффициент шероховатости $\lambda_{кор}$ для труб с притыком в нашей стране гофром при отсутствии в трубе покрытия

(гладкого лотка) составляет около 0,03, при наличии лотка, покрывающего 1/4-1/3 внутренней поверхности трубы, - 0,025.

В общем случае при гладком лотке, покрывающем любую часть поперечного сечения трубы, коэффициент шероховатости можно определить по формуле

$$\Pi_{\text{гофр}} = \sqrt{\frac{\chi \cdot \Pi^2 + \chi_{\text{гофр}} \cdot \Pi_{\text{гофр}}^2}{\chi + \chi_{\text{гофр}}}}, \quad (14)$$

где χ и $\chi_{\text{гофр}}$ - части поперечного сечения трубы, покрытые соответственно гладким лотком и гофрированной поверхностью;

Π и $\Pi_{\text{гофр}}$ - коэффициенты шероховатости соответственно для гладкого лотка ($\Pi = 0,015$) и гофрированной поверхности ($\Pi_{\text{гофр}} = 0,03$).

При распространенном в практике типе поперечного сечения гофрированной трубы с гладким лотком на 1/3 части периметра сечения коэффициент расхода μ_H можно определить по графику (рис.9).

При затоплении входа вместо $\mu_H D$ в формулу (11) подставляют глубину воды в нижнем бьефе.

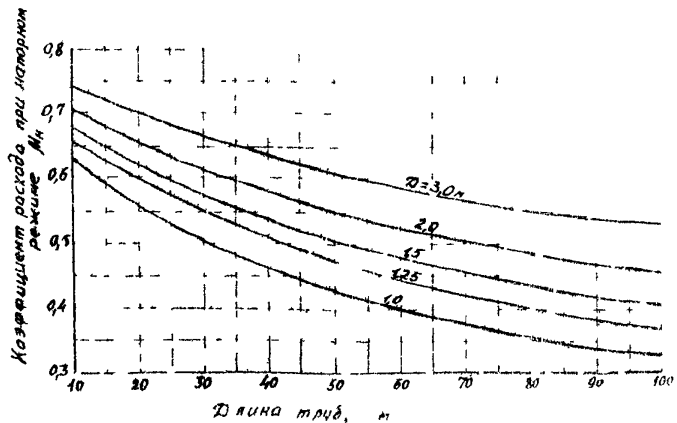


Рис.9. График для определения коэффициента расхода μ_H гофрированных труб с гладким лотком на 1/3 периметра поперечного сечения трубы

2.18. Подпорную глубину перед трубами при частично-напорном режиме определяют по формуле (II), принимая η_H по графику (рис.10) в зависимости от параметра расхода. При этом в качестве расчетной длины трубы принимают

$$l'_r = l_r - l_0, \quad (15)$$

где l_0 - расстояние от конца трубы до створа, где труба работает полным сечением; l_0 определяют по параметру расхода $\Pi_Q = \frac{Q}{D^2 \sqrt{g D}}$ с помощью графика (рис.11).

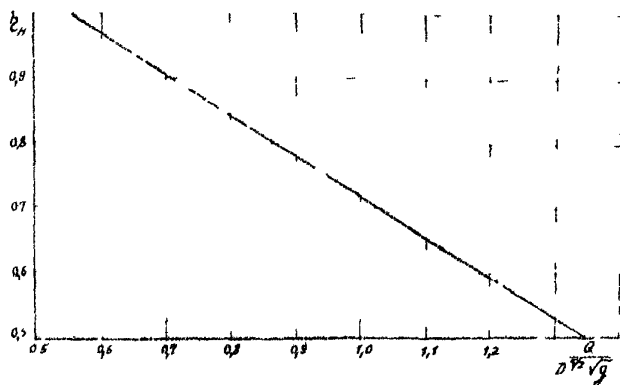


Рис.10. График зависимости $\eta_H = f\left(\frac{Q}{D^2 \sqrt{g D}}\right)$

2.19. Проверяют возможность сохранения частично-напорного режима.

В трубах с оголовками всех типов, кроме типа "капюшон", частично-напорный режим сохраняется при соблюдении условия $H \geq 1,4 D$ в противном случае труба "разрывается", и в ней возникает полупнапорный режим. При этом подпорную глубину определяют по формуле (10).

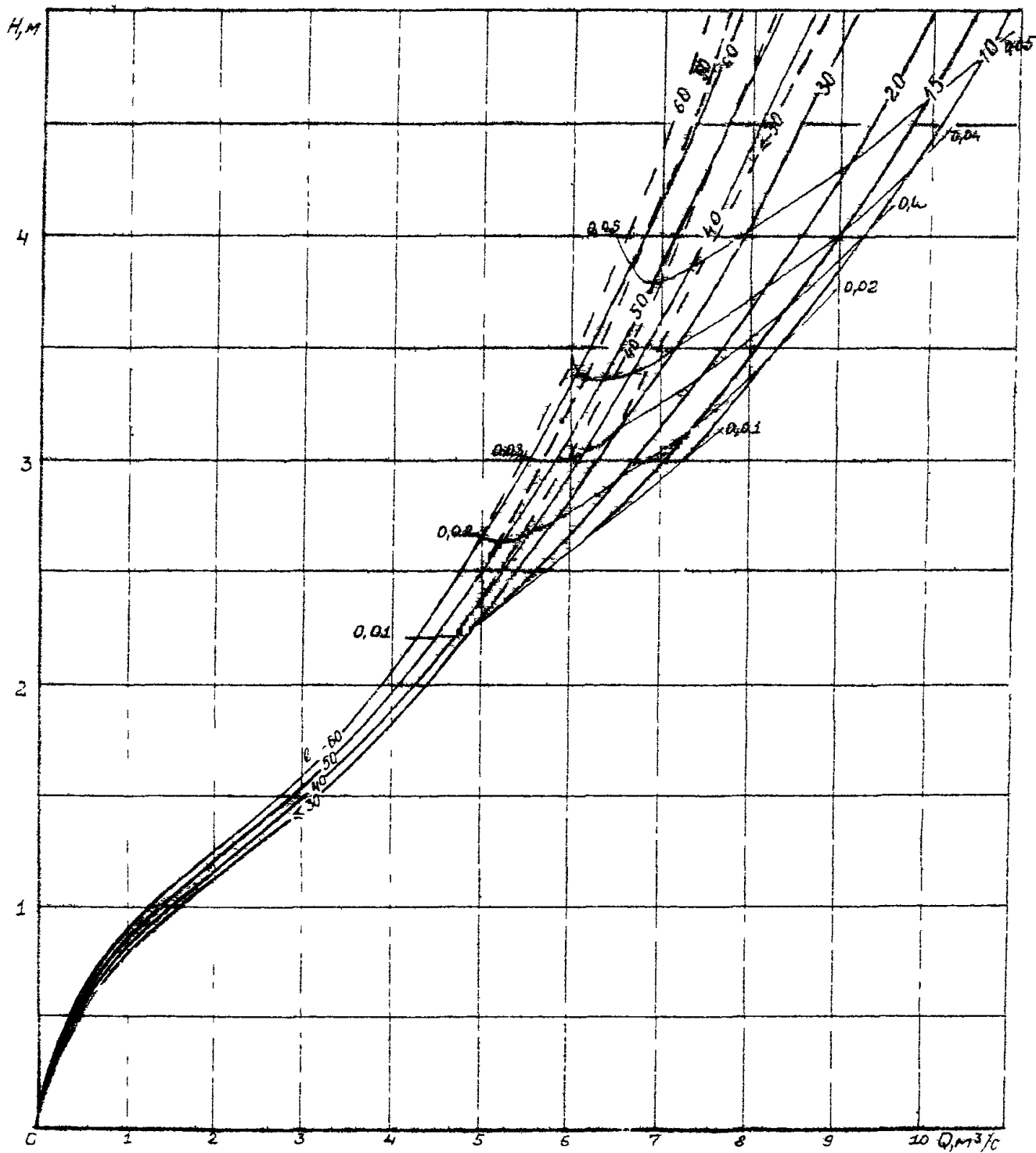


Рис. 12. Зависимости $H = f(Q)$ для труб
 $D = 1,5$ м при $\lambda = 0,01$

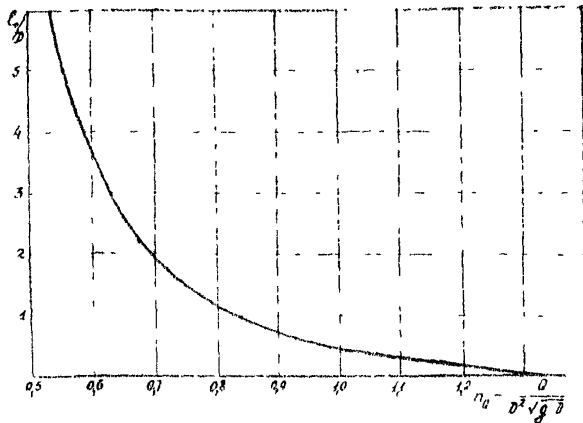


Рис. II. График для определения ζ_0

В трубах с оголовком типа "капшон" возможен переход частично-напорного режима в эту особую форму. Для установления возможности сохранения частично-напорного режима в этом случае подпорную глубину H сравнивают с H' , вычисляемой по формуле

$$H' = \left(1 + 0,155 \frac{13}{D^2 \sqrt{g D}} \right) D \quad (16)$$

При $H > H'$ частично-напорный режим сохраняется, и дальнейшего пересчета подпорной глубины H , определяемой по формуле (II), не требуется.

При $H < H'$ наблюдается особая форма частично-напорного режима, и в качестве искомой подпорной глубины принимают H' .

2.20. Для определения расчетной подпорной глубины перед трубами с оголовками всех типов, кроме типа "капшон", сравнивают подпорную глубину H с граничной H_r , определяемой по формуле (5). При $H > H_r$ в качестве расчетной глубины принимают H , при $H < H_r$ — глубину H_r .

для труб с оголовками типа "капюшон" сравнивают подпертую глубину, принятую в п. 2.19 для дальнейших расчетов, с подпертой глубиной H'' , определяемой по формуле (16) при $\frac{Q}{D^2 \sqrt{g} B} = 0,645$.

При $H > H''$ в качестве расчетной глубины принимают H , при $H < H''$ - глубину H'' .

2.21. Для безоголовочных труб с гладкими лотками, расположенными на $1/3$ (или $1/4$) периметра поперечного сечения сооружения, в целях упрощения вычислений рекомендуется пользоваться графиками, приведенными на рис. 12 и 13. На графиках зависимости $H = f(Q)$ при частично-напорном и напорном режимах соответствует уклону $i_T = 0,01\%$. При иных уклонах в значения H для указанных режимов вводятся поправки по формуле

$$\Delta H = \ell_T (i_T - 0,01). \quad (17)$$

Подпертая глубина в этом случае равна

$$H = H_{\text{граф}} - \Delta H, \quad (18)$$

где $H_{\text{граф}}$ - подпертая глубина, определяемая по графикам (см. рис. 12 и 13).

Зависимости $H = f(Q)$ даны на графиках для разных длин и отверстий труб. Они пересечены кривыми, соответствующими различным уклонам труб. Точки пересечения их соответствуют минимальным значениям расхода и подпертой глубины H , при которых труба, уложенная с данным уклоном, работает в частично-напорном режиме. При меньших значениях Q и H в трубе имеет место полунанпорный или полунанпорный режим протекания, при которых пропускная способность труб не зависит от их уклона.

На указанных графиках зависимости $H = f(Q)$ для полунанпорного режима выше кривой $i_T = 0,01$ (пояснения см. ниже) изображены пунктиром.

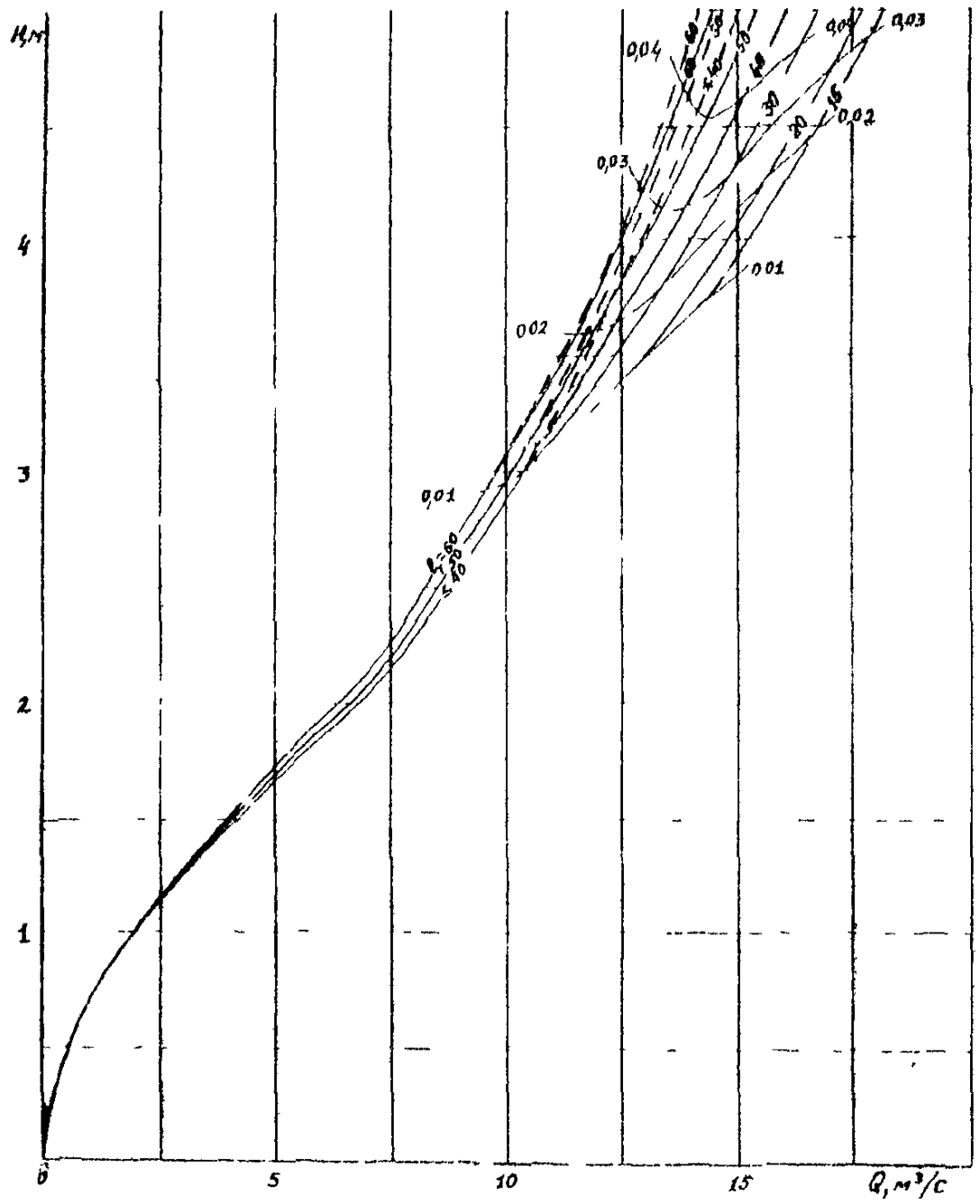


Рис. 13. Зависимости $H = f(Q)$ для трубы $D = 2,0$ м при $\lambda_T = 0,01$

Порядок пользования графиком следующий.

На графике, соответствующем принятому отверстию трубы, находят кривую $H = f(Q)$ для заданной длины трубы l_T . На этой кривой по величине расхода находят подпертую глубину H .

Интерполируя кривые, пересекающие зависимости $H = f(Q)$, находят уклон для кривой, проходящей через точку, соответствующую заданному расходу (подпертой глубине H).

Сравнивая фактический уклон трубы с уклоном указанной кривой i_T , устанавливают возможность возникновения частично-напорного (или напорного) режима в трубе.

При $i_T < i_T$ в трубе возникает частично-напорный (напорный) режим, при $i_T > i_T$ — полунанпорный.

При частично-напорном (напорном) режиме в полученное по графику значение H граф вводят поправку ΔH согласно формуле (17).

Сравнивая установленное значение H с $1,4 D$ определяют возможность существования частично-напорного режима.

При $H \geq 1,4 D$ частично-напорный режим сохраняется, и полученное значение H принимается к дальнейшему расчету. При $H < 1,4 D$ возникает полунанпорный режим, и H определяют по зависимости $H = f(Q)$ для данного режима трубы заданной длины.

В качестве расчетной подпертой глубины перед трубами, работающими в частично-напорном режиме, принимают большее из значений H и H_T .

H_T на графиках (см. рис. 12 и 13) определяют следующим образом:

находит точку пересечения зависимости $H = f(Q)$ для трубы заданной длины с линией заданного уклона (при отсутствии на графике линии соответствующего уклона ее положение определяют интерполяцией);

через полученную точку проводят линию, параллельную оси ординат, и доводят ее до пересечения с пунктирной линией для трубы заданной длины; ордината этой точки и будет искомой граничной глубиной H_T .

При полунапорном режиме подпертую глубину определяют непосредственно по зависимости $h = f(a)$ для данного режима (на графиках она изображена пунктиром).

Глубины и скорости потока на выходе из труб

2.22. Глубины потока на выходе из гофрированных труб $h_{\text{вых}}$ (в том числе и с гладкими лотками) при $0,01 \leq \zeta_r \leq 0,05$ и параметрах расхода $\frac{a}{D^2 \sqrt{gD}} < 1,35$ определяют по следующим формулам (при $\zeta_r, \%$):

$$\text{при } \frac{a}{D^2 \sqrt{gD}} \leq 0,8$$

$$\frac{h_{\text{вых}}}{D} = \frac{0,86}{\zeta_r^{0,10}} \left(\frac{a}{D^2 \sqrt{gD}} \right)^{0,6} ; \quad (19)$$

$$\text{при } 0,8 < \frac{a}{D^2 \sqrt{gD}} < 1,35$$

$$\frac{h_{\text{вых}}}{D} = \frac{0,86}{\zeta_r^{0,08}} \left(\frac{a}{D^2 \sqrt{gD}} \right)^{0,52} \quad (20)$$

при $\frac{a}{D^2 \sqrt{gD}} \geq 1,35$ труба на выходе заполнена, и глубины в выходном сечении равны диаметру трубы, т.е. $h_{\text{вых}} = D$.
Для упрощения расчетов можно пользоваться графиком (рис. 14).

2.23. Скорости потока на выходе из труб $V_{\text{вых}}$ определяют из выражения (при $\zeta_r, \%$):

$$\frac{V_{\text{вых}}}{\sqrt{gD}} = 1,45 \zeta_r^{0,04} \left(\frac{a}{D^2 \sqrt{gD}} \right)^{\frac{1}{3\zeta_r}} \quad (21)$$

или по графику (рис. 15).

При $\frac{a}{D^2 \sqrt{gD}} > 1,35$ скорости потока на выходе из труб определяют по формуле

$$V_{\text{вых}} = \frac{Q}{C D_{\text{соед}}} \quad (22)$$

Особенности расчета многоочковых и многоярусных труб

2.24. Пропускную способность гофрированных многоочковых и многоярусных труб при условии их раздвижки на величину не менее $0,25 D$ определяют как сумму отдельно работающих одноочковых труб.

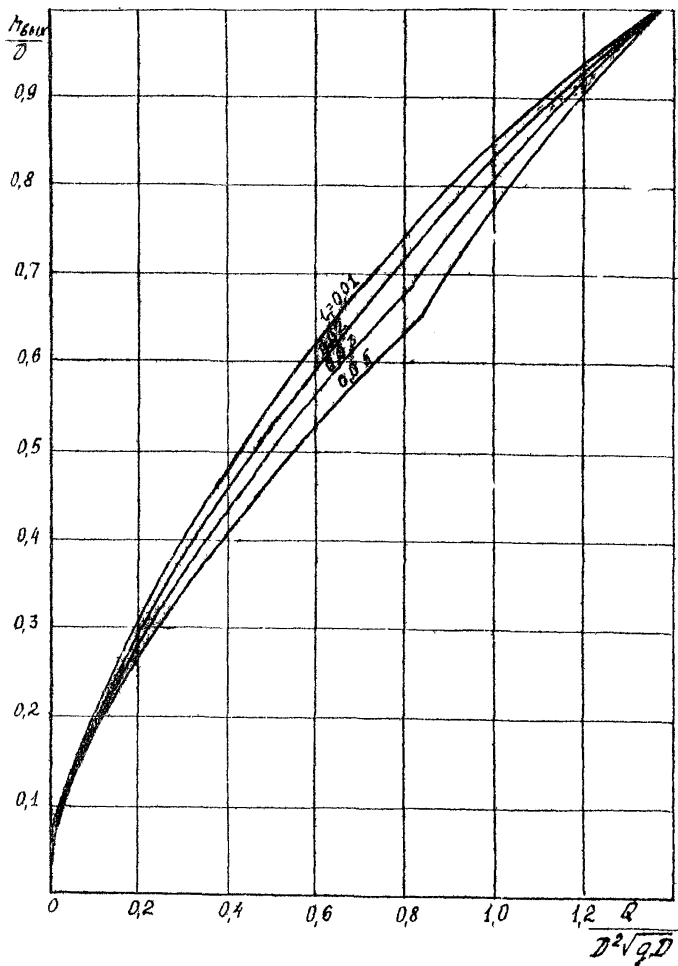


Рис.14. График для определения глубина потока на выходе из труб при разных уклонах

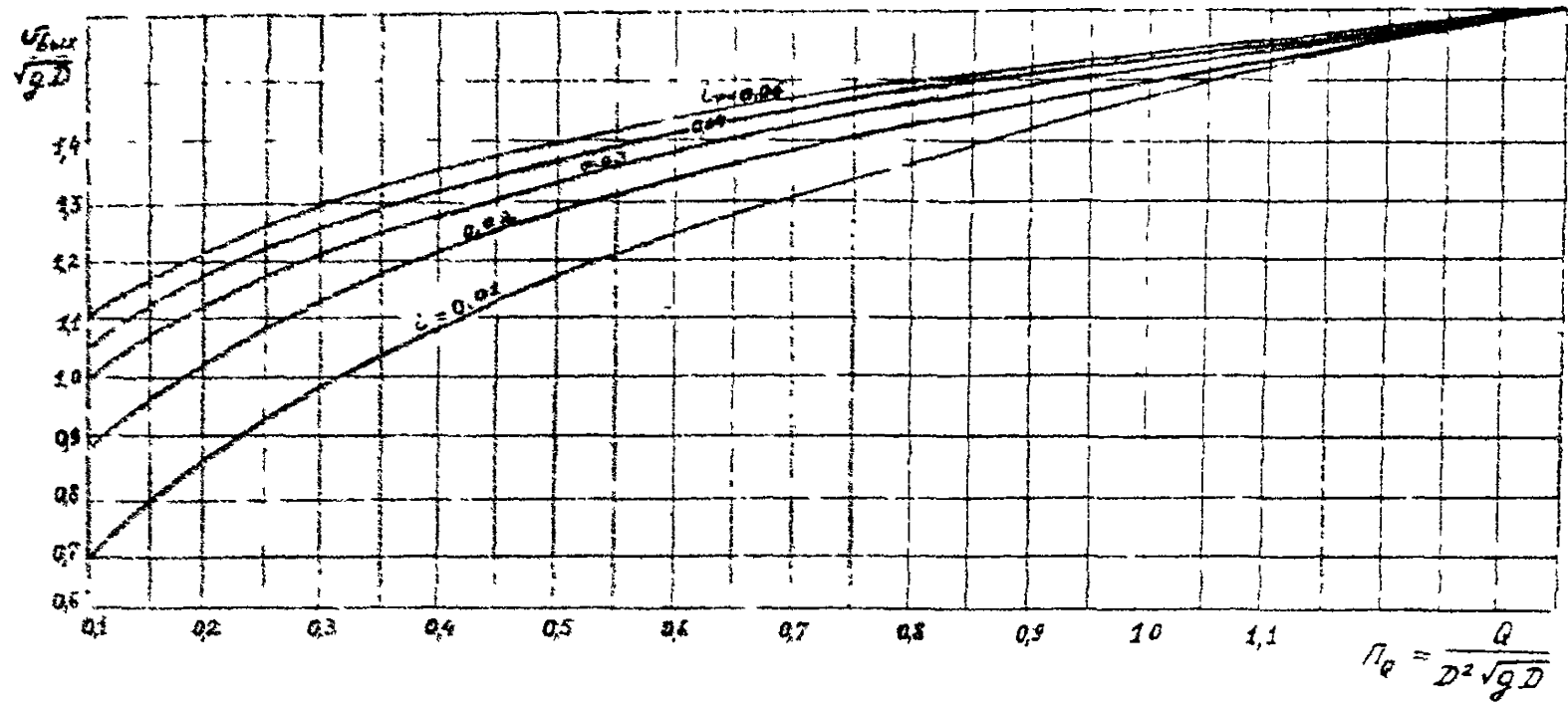


Рис.15. График для определения скоростей потока на выходе из труб при разных уклонах.

2.25. Расчет многоочковых труб аналогичен расчету одноочковых, при этом расход каждой трубы принимают равным $Q_n = \frac{Q}{N_T}$, где N_T - число труб.

2.26. Многоярусные трубы целесообразно устраивать без оголовка. Расчет многоярусных труб (рис. 16) начинают с определения подпертой глубины перед трубой в предположении, что весь расход проходит через трубы нижнего яруса. Для этого весь расход делят на число труб нижнего яруса и производят расчет отдельной трубы согласно рекомендациям для одноочковых труб, изложенным выше. Установив подпертую глубину перед трубой, ее сравнивают с расстоянием между лотками труб первого и второго ярусов. Если она меньше указанного расстояния, второй ярус не работает, и расчет на этом заканчивают, принимая в качестве искомой полученную подпертую глубину.

В противном случае расчет продолжают, для чего строят зависимости $H = f(Q)$ в такой последовательности.

1. Задает ряд расходов в трубах верхнего яруса и для каждого из них определяют подпертые глубины, пользуясь рекомендациями для одноочковых труб. При этом расход отдельной трубы определяют путем деления общего расхода на число труб N_T .

2. Устанавливают подпертые уровни перед многоярусной трубой при пропуске каждого из заданных расходов путем прибавления к отметке лотка труб верхнего яруса соответствующих подпертых глубин.

3. Определяют подпертые глубины перед трубами всех нижерасположенных ярусов, вычитая из отметок подпертых уровней для каждого из заданных расходов, пропускаемых трубами верхнего яруса, отметки их лотков.

4. Устанавливают режимы протекания в трубах каждого из ярусов, определяя относительные подпертые глубины перед ними $\frac{H}{D}$ при пропуске заданных расходов в трубах верхнего яруса и сравнивая их с относительными граничными напорами, которые вычисляются согласно рекомендациям для одноочковых труб.

При $\frac{H}{D} < \frac{H_c}{D}$ в трубах данного яруса возникает полунепорный режим, при $\frac{H}{D} > \frac{H_c}{D}$ - частично-напорный или напорный

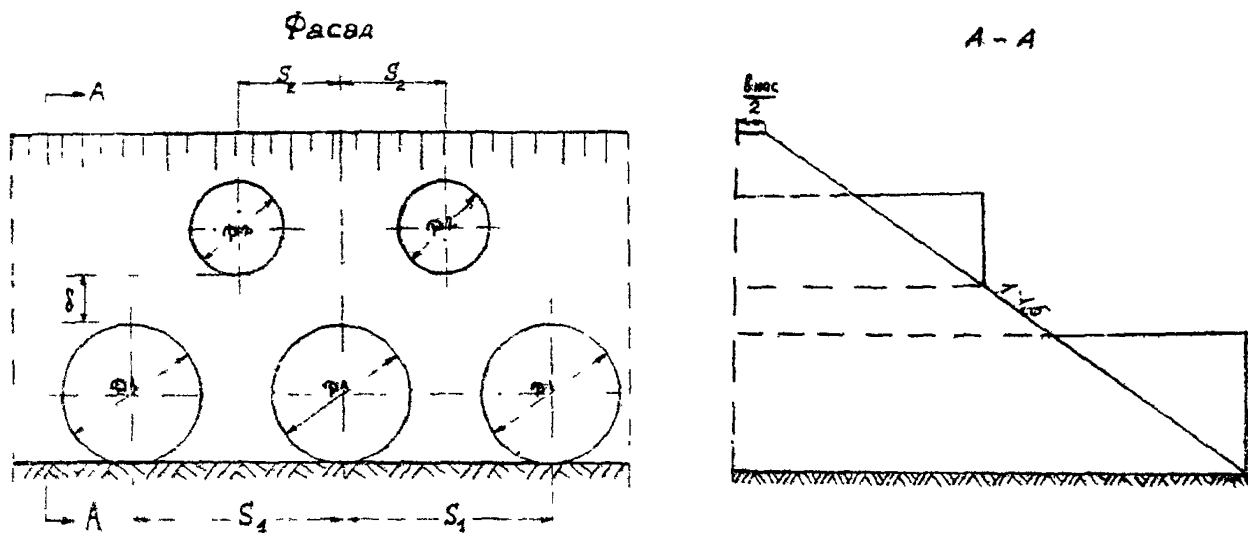


Рис.16. Схема многоярусной трубы

5. Для полунпорного режима ($\frac{H}{D} < \frac{H_r}{D}$) определяют расходы, пропускаемые трубой соответствующего яруса по формуле (10).

При $\frac{H}{D} \geq \frac{H_r}{D}$ определяют расходы труб каждого яруса по формуле (11) при $\eta_H = 0,75$ и находят параметры расхода $\frac{Q}{\eta_r D^2 \sqrt{g D}}$ (η_r - число труб в данном ярусе).

При $\frac{Q}{\eta_r D^2 \sqrt{g D}} > 1,35$ режим напорный и расход должен быть пересчитан по формуле (10) при $\eta_H = 0,5$.

При $\frac{Q}{\eta_r D^2 \sqrt{g D}} < 1,35$ по графику (см. рис.10) определяют η_H и вновь вычисляют расход по формуле (7) с полученным значением η_H . Если он отличается от исходного не более чем на 3%, расчет заканчивают, в противном случае расчет продолжают до указанной точности.

6. Проверяют возможность сохранения частично-напорного режима согласно рекомендациям п.2.19.

7. Определяют расчетные подпертые глубины перед трубами в соответствии с рекомендациями п.2.20.

8. Определяют расходы всех труб данного яруса по формуле

$$Q_{яp} = Q_n \eta_r \quad (23)$$

где Q_n - расход отдельной трубы данного яруса.

9. Для каждого из расходов, пропускаемых верхним ярусом, определяют полный расход многоярусной трубы путем сложения расходов всех ярусов при соответствующем подпертом уровне.

По указанным данным строятся зависимости $H = f(Q)$ для труб каждого из ярусов и всей трубы в целом, причем подпертые глубины для труб всех ярусов считают от отметки лотков труб данного яруса.

10. По зависимости $H = f(Q)$ для многоярусной трубы находят по известному расходу подпертую глубину перед трубой, а затем скорости на выходе из труб. К расчету принимают скорости на выходе из труб нижнего яруса.

3. РАСЧЕТ НИЖНЕГО БЪЕФА ТРУБ В РАВИННЫХ УСЛОВИЯХ

Типы выходных русел

3.1. Согласно рекомендациям, изложенным в настоящей главе, рассчитывают нижние бьефы труб, укложенных с уклонами $i_T \leq 0,03$.

3.2. Расчет нижнего бьефа труб заключается в определении скоростей потока на укреплении, выборе типов выходных русел, под которыми понимается комплекс устройств, находящихся за выходными оголовками, определении глубин размыва за укреплениями и назначении их размеров.

3.3. Рекомендуются выходные русла следующих типов: для районов, расположенных вне зоны вечной мерзлоты, - укрепления из бетонных плит или небольших блоков, завершаемые предохранительным откосом с каменной рисоармой согласно типовому проекту укреплений (инв.№ 937); обязательным условием для применения укреплений данного типа является устойчивость основания, поэтому их можно назвать недеформируемыми;

для районов вечной мерзлоты - укрепления из каменной наброски, используемые для скоростей потока на выходе из труб до 3,5 м/с, и укрепления, сочетающие наброску с бетонными блоками, для скоростей от 3,5 м/с до 5,5 м/с; укрепление этого типа сохраняет свои защитные свойства даже при деформации основания, и его можно назвать деформируемым.

3.4. В настоящей главе изложены рекомендации по расчету нижних бьефов труб, выходные русла которых имеют укрепления из каменной наброски или каменной наброски и не связанных между собой бетонных блоков. Расчет нижних бьефов гофрированных труб при недеформируемых укреплениях (плитных, блочных или в виде каменного мощения) в равнинных условиях не отличается от расчета труб других типов, и его выполняют в соответствии с рекомендациями "Руководства по гидравлическим расчетам малых искусственных сооружений". Размеры укреплений принимают по "Типовому проекту укреплений русел и откосов выщипкой водонепроницаемых труб" (инв.№ 937), [172].

Выходные русла с укреплениями
из каменной наброски

3.5. При расчете выходных русел с укреплениями из каменной наброски исходят из конструкции, приведенной на рис. I7.

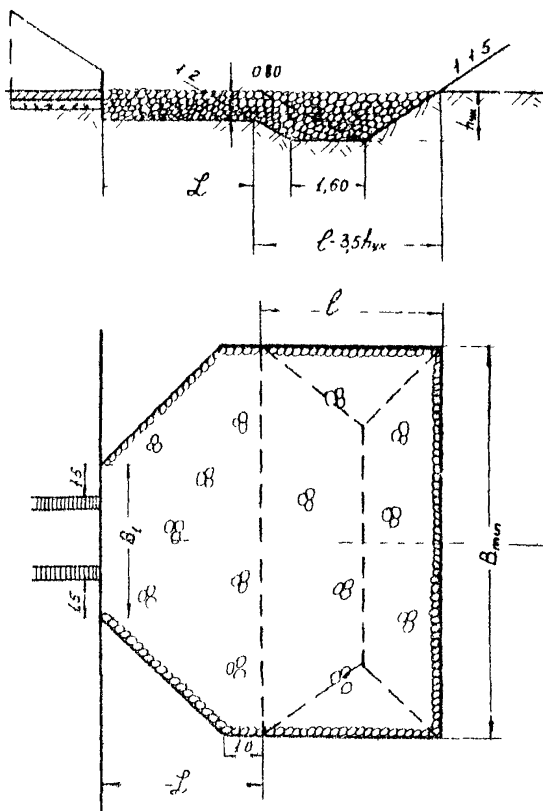


Рис. I7. Схема выходных русел с укреплением из каменной наброски

Длину укрепления из наброски принимают равной $L_{мин} = (1,5+2) D_3$, где $D_3 = 1,13 \sqrt{CO_{собр}}$ эквивалентный диаметр трубы.

Толщину укрепления назначают $\delta = 75+80$ см, исходя из глубины заложения трех слоев камня размером $a = 25+30$ см. В конце укрепления устраивается рисберма из каменной тех же размеров, что и укрепление.

Глубину размыва, глубину заложения рисбермы $h_{ук}$ объем камня в ней W_n и ширину укрепления определяют расчетом.

3.6. Расчет глубины размыва за трубами выполняют в такой последовательности.

1. Определяют предельную глубину размыва в грунте, слагающем русло:

$$\Delta h_{пр} = \delta_M \Psi D_3 \left(\frac{a}{a_k} \right)^{0,6} \left[\left(\frac{Q_{ср}}{D} + t \right) b b_p d \right]^{0,2} \quad (24)$$

где δ_M - масштабный коэффициент, значения которого приведены в табл.4.

Т а б л и ц а 4

$D_3, м$	δ_M	$D_3, м$	δ_M
1,0	0,85	3,0	0,79
1,25	0,83	4,0	0,77
1,50	0,82	5,0	0,76
2,0	0,81	6,0	0,75

Ψ - коэффициент, учитывающий тип заделки; для укреплений из каменной наброски $\Psi = 0,6$, для сочетания ее с блоками $\Psi = 1,0$;

$Q_k = 1,6 D_3^{1/2}$ м³/с - эталонный расход;

b - отверстие сооружения; для круглых одноблочковых труб принимается равна диаметру сооружения, для многоблочковых - сумме отверстий очков, для многорядных труб - сумме отверстий труб нижнего яруса

b_p - ширина сечения в конце выходного слоя грунта;

d - расчетный диаметр частиц грунта,

D_3 - эквивалентный диаметр; для одноочковой трубы
 $D_3 = D$, т.е. диаметру трубы; для многоочковых и
 многотрусных труб

$$D_3 = \sqrt[n_{(1)}]{D_1^n + n_{r(2)} D_2^n + n_{r(3)} D_3^n + \dots + n_{r(n)} D_n^n}. \quad (25)$$

Здесь $n_{(1)}, n_{r(2)}, n_{r(3)}, \dots, n_{r(n)}$ соответственно число труб и диаметр их от первого до n -го яруса.

Расчетный диаметр частиц d (в мм) вычисляется по формулам:

для несвязного грунта

$$d = \frac{\sum d_i P_i}{100}, \quad (26)$$

где d_i - средний диаметр частиц отдельной фракции;
 P_i - весовая доля фракции, %;

для связного грунта

$$d = 4,5(0,15 + C_p), \quad (27)$$

где C_p - расчетное сцепление грунта, тс/м^2 , определяемое по данным анализа грунтов.

2. Определяют максимальную глубину размыва (в м) в русле русла по формуле

$$\Delta h_{\text{max}} = \eta \Delta h_{\text{cr}}, \quad (28)$$

где η - доля предельной глубины размыва за данное время; с некоторым приближением для несвязных грунтов можно принять $\eta = 0,6$, для связных - $\eta = 0,75$.

3. Определяют максимальную глубину размыва (в м) в руслах с каменной наброской

$$\Delta h_{\text{max}(н)} = \Delta h_{\text{cr}} \left(\frac{d}{d_H} \right)^{1/3} + H d_H \frac{\Delta h_{\text{max}}^2}{\bar{W}_K}, \quad (29)$$

где d_H - средний диаметр частиц каменной наброски;

\bar{W}_K - объем каменной наброски на единицу ширины укрепления, $\text{м}^3/\text{м}$;

η - коэффициент; в выходных руслах с каменной наброской $\eta = 0,5$; при наличии бетонных блоков

$\eta = 0,7$.

При определении объема наброски в рисоберме Δh_k следует исходить из условия, что глубина размыва $\Delta h_{\text{max}(k)}$ равна глубине заложения рисбермы, обрушения рисбермы происходит с откосом 1:2, в низовой откос имеют крутизну 1:1,5. При этом если глубина заложения рисбермы $h_{\text{ук}}$, в форма поперечного сечения треугольная, то $N_k = 1,05 h_{\text{ук}}^2$. Глубину заложения рисбермы находят из уравнения

$$h_{\text{ук}}^3 - M h_{\text{ук}}^2 - N = 0. \quad (30)$$

где $M = \Delta h_{\text{пр}} \left(\frac{d}{d_n} \right)$ и $N = 0,0715 \Delta h_{\text{max}}$.

3.7. Расчет размеров укреплений в плане выполняют следующим образом:

длину укрепления назначают $L = (1,5 + 2,0) D_2$;

ширину укрепления у подошвы насыпи принимают равной ширине оголовка на выходе с землесом 1,5 м в каждую сторону;

ширину укрепления в остальной его части определяют учитывая ширину растекания (на всей длине укрепления, кроме концевой части) и ширину воронки размыва (в концевой части укрепления).

Ширину растекания (в м) вычисляют по формуле

$$B_{\text{раст}} = b \left[\left(\frac{x}{D_2} + 1 \right)^n - 1 \right] + b_p, \quad (31)$$

где x — расстояние от конца оголовка до рассматриваемого створа;

$$n = 0,78 + 0,36 \lg \frac{U_k}{U} \quad (32)$$

Минимальную ширину укрепления (в м) в конце его определяют по формуле

$$B_{\text{min}} = \frac{3,6}{K} \Delta h_{\text{max}} \quad (33)$$

где K — коэффициент, определяемый по графику (рис. 18).

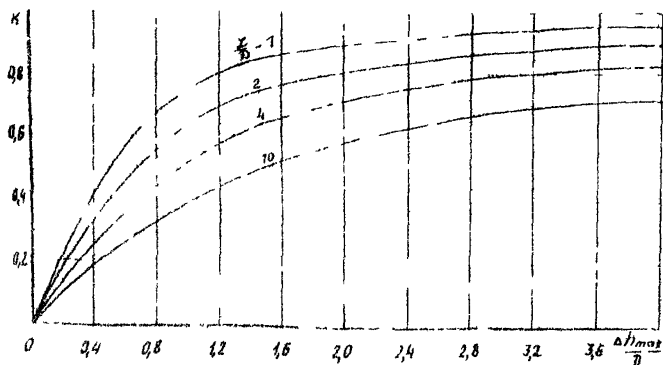


Рис. 18. График для определения коэффициента К

Выходные русла с укреплениями из
каменной наброски и бетонных
блоков

3.8. Укрепления этого типа (рис. 19) состоят из не связанных между собой блоков размером $1,0 \times 1,0 \times 0,4$ м, расположенных на ширине растояния потока и каменной наброски, укладываемой в водозеротной зоне и концевой части.

Размеры блоков, приведенных к шару, определяют по формуле

$$d_n = \frac{V_{bl}}{45} \quad (34)$$

где d_n — диаметр элемента, приведенного к шару, м.

Укрепление из бетонных блоков устраивают однослойным. Исключение составляет лишь концевая часть, где число рядов блоков по вертикали определяется глубиной размыва. Блоки укладывают на каменную наброску, глубина заложения которой на всей ширине укрепления равна 75–80 см (соответствует толщине трех слоев наброски).

Концевая часть укрепления выполняется в виде вертикальной стенки, состоящей в плане из одного ряда бетонных

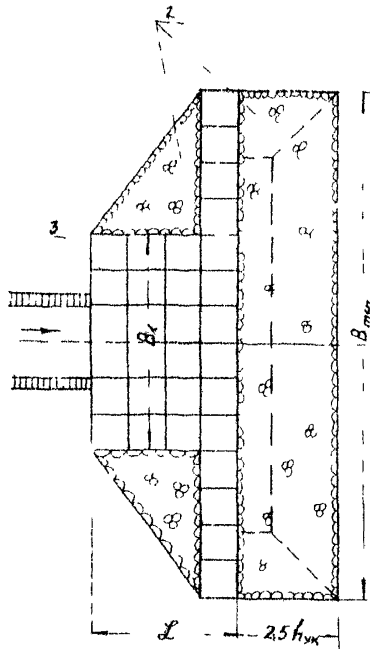
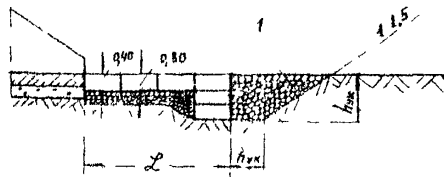


Рис. 19. Схема выхолных русел с укреплением из бетонных блоков:
 1 - каменная рисоворма; 2 - каменная наброска ($d_H = 25 \pm 30$ см); 3 - бетонные блоки

блоков. Число рядов олоков по вертикали зависит от глубины вероятного размыва. Суммарная высота блоков не должна быть меньше этой глубины.

За стенкой сооружается рисберма трапецеидальной формы глубиной $h_{ук} = \Delta h_{\max(III)}$

Расчет размыва в выходных руслах этого типа можно выполнять в соответствии с рекомендациями, изложенными в п.3.6, введя в них некоторые коррективы. В формуле (29) коэффициент $A = 0,13$, в формуле (30) коэффициент $N = 0,0186 \Delta h_{\max}^2$, а коэффициент M принимается тот же, что и при расчете выходных русел с укреплениями из одной наброски.

В соответствии с изложенными рекомендациями были определены размеры укрепений в выходных руслах указанных типов. В табл.5 приведены основные размеры укрепений из каменной наброски и соответствующие им предельные значения расчетных Q_p и наибольших Q_{\max} расходов при скорости течения на выходе из труб $V_{\text{вых}} \leq 3,5$ м/с. В табл.6 приведены размеры укрепений из бетонных блоков каменной наброски при $V_{\text{вых}} \leq 5,5$ м/с.

Т а б л и ц а 5

Отверстие		Расход, м ³ /с		длина укрепления, м		Ширина укрепления, м		Глубина заложения концевой части укрепления, м
D, м	Число очков	Q _p	Q _{max}	ℓ	ℓ	B ₁	B _{min}	
I	1	1,5	-	2,25	2,80	4,5	6,0	0,80
		1,8	-		2,80		6,7	0,80
		2,2	-		2,80		6,9	0,80
		-	3,0		2,80		7,8	0,80
		-	3,7		2,80		8,3	0,80
I,5	2	2,6	-	3,2	2,80	6,0	8,2	0,80
		3,6	-		2,80		8,8	0,80
		4,4	-		2,80		9,0	0,80
		-	6,0		2,80		9,9	0,80
		-	7,4		2,80		10,5	0,80

Продолжение табл. 5

Отверстие		Газоход, м ³ /с		Длина укреп- лений, м		Ширина укрепле- ния, м		Глубина заделывания концевой части ук- репления h _{ук} , м
D, м	Число очков	Q _p	Q _{max}	ℓ	ℓ	B ₁	B _{min}	
	3	3,9	-	3,9	2,80	7,5	9,9	0,80
		5,4	-		2,80		10,2	0,80
		6,6	-		2,80		11,1	0,80
		-	9,0		2,80		11,5	0,80
	1	-	11,1	3,0	3,00	5,0	12,1	0,85
		2,7	-		2,80		8,5	0,80
		4,5	-		2,80		9,5	0,80
		-	6,0		3,00		10,6	0,85
2,0	2	-	7,5	4,2	3,30	7,0	11,2	0,95
		5,4	-		2,80		11,5	0,80
		9,0	-		2,80		12,4	0,80
		-	12,0		3,30		13,6	0,95
	3	-	15,0	5,2	3,70	9,0	14,2	1,05
		8,1	-		2,80		13,4	0,80
		13,5	-		3,00		14,8	0,85
		-	18,0		3,70		15,8	1,05
	1	-	22,5	4,5	4,00	6,0	16,5	1,15
		3,5	-		2,80		11,5	0,80
		6,7	-		2,80		12,4	0,80
		-	10,0		3,0		13,5	0,95
3,0	2	-	16,9	6,3	3,70	9,0	16,0	1,05
		7,0	-		2,80		15,8	0,80
		12,4	-		2,80		16,3	0,80
		-	20,0		3,15		17,8	0,90
	3	-	33,8	7,8	4,00	12,0	20,0	1,15
		10,5	-		2,80		18,4	0,80
		20,1	-		3,00		20,1	0,65
		-	30,0		3,50		20,9	1,00
		-	50,7		4,75		24,1	1,35

Т а б л и ц а 6

Свер- стие №	Рас- ход м³	Размеры укрепления в метре, м			Концевая часть ук- репления		Объем камня в расчете на 1 м ширины укрепления м³/м
		Диаметр, м	Ширина		Глубина заложения укрепления, м	Число рядов блоков	
			B ₁	B _{полн}			
1.0	1	4,0	10,0	10,0	0,80	2	1,44
	2	6,0	12,0	12,0	0,80	2	2,88
	3	8,0	14,0	14,0	0,80	2	4,32
	4	10,0	16,0	16,0	0,80	2	5,76
	5	12,0	18,0	18,0	0,80	2	7,20
	6	14,0	20,0	20,0	0,80	2	8,64
	7	16,0	22,0	22,0	0,80	2	10,08
	8	18,0	24,0	24,0	0,80	2	11,52
	9	20,0	26,0	26,0	0,80	2	12,96
2.0	1	4,0	10,0	10,0	1,20	2	1,44
	2	6,0	12,0	12,0	1,20	2	2,88
	3	8,0	14,0	14,0	1,20	2	4,32
	4	10,0	16,0	16,0	1,20	2	5,76
	5	12,0	18,0	18,0	1,20	2	7,20
	6	14,0	20,0	20,0	1,20	2	8,64
	7	16,0	22,0	22,0	1,20	2	10,08
	8	18,0	24,0	24,0	1,20	2	11,52
	9	20,0	26,0	26,0	1,20	2	12,96

81

4. ОСОБЕННОСТИ РАСЧЕТА РАЗМЫВА И НАЗНАЧЕНИИ РАЗМЕРА УКРЕПЛЕНИЙ ЗА КОСОГОРНЫМИ ТРУБАМИ

Основные положения

4.1. Возможны следующие принципиальные варианты укладки гофрированных труб на косогорах.

1. Укладка гофрированных труб с уклоном лога. Этот вариант возможен при уклонах местности $\zeta \leq 0,05$ (предельный уклон укладки гофрированных труб по условиям прочности). В зависимости от применяемых типов креплений возможны два подварианта:

трубы с типовыми конструкциями креплений - для недеформируемых оснований;

трубы с креплениями из специальных блоков (предложение Мосгипротранса) - для деформируемых оснований.

2. Укладка труб непосредственно в тело насыпи на насыпной грунт (трубы на подсыпке). Этот вариант имеет подварианты, отличающиеся условиями сброса потока в нижний бьеф:

сброс потока непосредственно на откос насыпи (рис. 20а,б), при этом насыпь может быть из камня или иметь укрепленные откосы;

сброс потока по лоткам, уложенным на откосе; для этой цели могут быть использованы элементы металлических гофрированных труб (см. рис. 20,в);

консольный сброс (см. рис. 20,г); поток сбрасывается по лотку, уложенному на специальных опорах, за пределы подошвы насыпи на расстояние, при котором возникающий размыв не угрожает устойчивости сооружения.

3. Швехтний сброс (рис. 21), при котором на входе в трубу устраивается вертикальная шахта, опирающаяся с трубой, заглубленной в лог.

4.2. Каждый из указанных вариантов может отличаться условиями входа.

Конструкции входе в косогорные гофрированные трубы не имеют принципиальных отличий от железобетонных и бе-

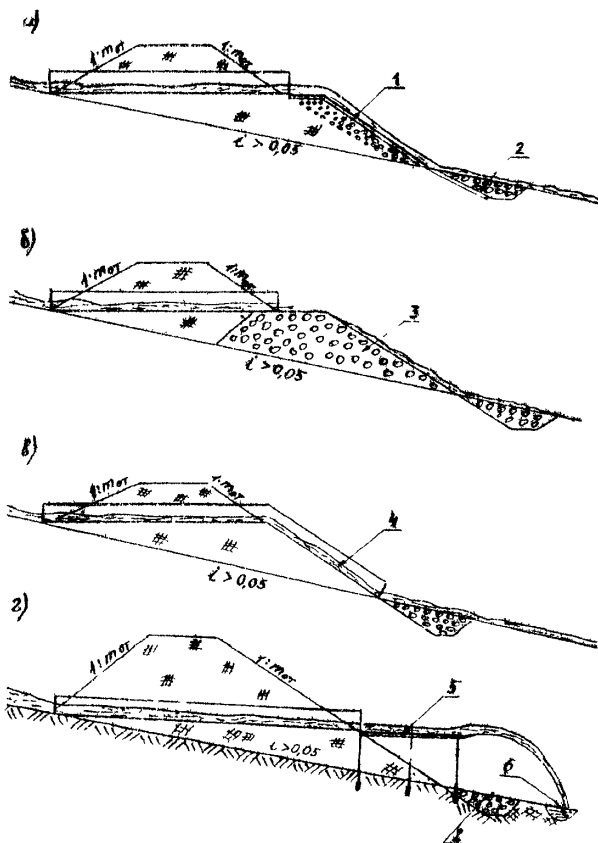


Рис. 20. Типы укладки гофрированных косогорных труб на насыпной грунт в теле насыпи: 1 - укрепленный откос; 2 - рисберма; 3 - каменная отсыпка; 4 - лоток; 5 - консольный оброс; 6 - воронка размыва

тонных труб, и их гидравлические расчеты выполняют в соответствии с "Типовым проектом унифицированных косогорных водопропускных труб" (инв. № 538) и "Руководством по гидравлическим расчетам малых искусственных сооружений".

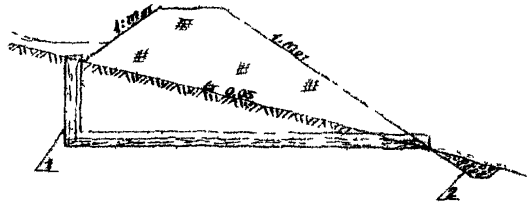


Рис. 2Г. Гофрированная косогорная труба с шахтным сбросом:
1 - шахтный сброс; 2 - берма

4.3. В настоящих Методических рекомендациях приводятся методы расчета нижних бьефов труб, уложенных на подсыпке в теле насыпи при сбросе воды непосредственно на подсыпку или специальные лотки, расположенные на откосе, а также методы расчета нижних бьефов труб, уложенных непосредственно в ложе при укреплениях из крупных блоков.

Расчет нижних бьефов косогорных сооружений, уложенных непосредственно в ложе при примыканиях в настоящее время конструкций выходных русел, а также при сбросе воды консольными или шахтными сбросами, производят в соответствии с "Руководством по гидравлическим расчетам малых искусственных сооружений".

4.4. В качестве лотков целесообразно использовать элементы гофрированных труб ближайшего большего диаметра по отношению к отверстию водопропускной трубы.

Лоток укладывается непосредственно за выходным сечением трубы. Берма в насыпи при лотковом сопряжении не устраивается.

4.5. Расчет нижних откосов труб, уложенных на подсыпке, производится в зависимости от условий отвода воды с откоса применительно к соответствующему типу отвода.

Укладка труб с уклоном лога при укреплениях из крупных бетонных блоков

4.6. Выходные русла этого типа применяют при деформируемых основаниях. Они имеют две конструктивные разновидности:

с укреплением боковых откосов котлована, в котором укладывается укрепление (рис.22);

без их укрепления (рис.23).

4.7. Размеры выходных русел данного типа определяют согласно "Руководству по гидравлическим расчетам малых искусственных сооружений" (гл.VI), учитывая некоторые особенности (см.рис.22 и 23):

длина укрепления принимается равной $L = 0$ (наклонная часть укрепления считается как предохранительный откос);

коэффициент $\psi = 1,0$ (имеется предохранительный откос);

максимальная глубина размыва и соответствующая ей минимальная ширина укрепления определяются в створе, проходящем через конец блоков;

слой камня в рисберме принимается равным $\delta_{рс} \approx 0,7 \Delta h_1$, где Δh_1 - расстояние по вертикали от подошвы укрепления до точки пересечения откосов рисбермы и косого (см.рис.22 и 23);

ширина рисбермы по дну равна $\Delta h_{\text{макс}(H)}$

часть плоскости откоса за пределами ширины растекания укрепляется каменной наброской.

Отвод воды по укрепленному откосу наоспи и берме

4.8. Назначают коэффициент заложения низового откоса $m_{от}$. По условиям устойчивости откоса с учетом воздействия на него потока целесообразно принимать $m_{от} = 2$

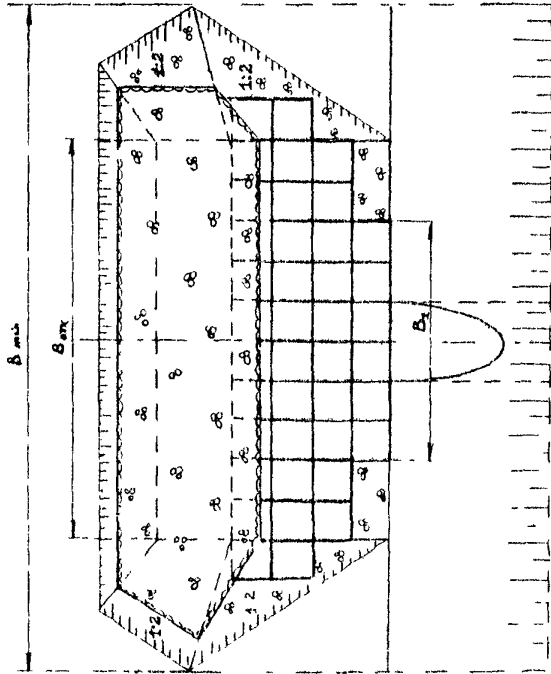
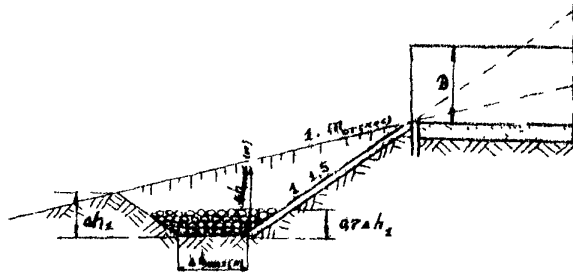


Рис. 22. Схема выходных русел из бетонных блоков и каменной наброски на косогорах при укреплении откосов котлована

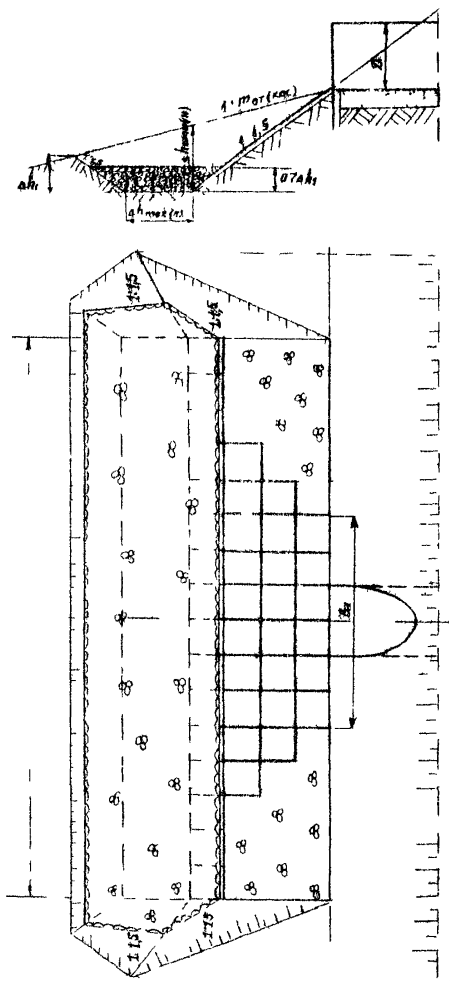


Рис.23. Схема выходных русел из бетонных блоков и каменной наброски на логогорах без укрепления откосов котлована

4.9. Определяют глубины и скорости потока на выходе из трубы согласно рекомендациям пп.2.22 и 2.23.

4.10. Определяют минимальный размер бермы вдоль потока по формуле, полученной из уравнения свободного падения тела:

$$L_{S(\min)} = 1,2 V_{\text{вых}} \sqrt{\frac{2 h_{\text{вых}}}{g}}, \quad (35)$$

где 1,2 - коэффициент запаса.

4.11. По скорости $V = 1,3 V_{\text{вых}}$ (учитывается увеличение скорости на берме за счет растекания) определяют тип укрепления согласно "Руководству по гидравлическим расчетам малых искусственных сооружений (табл.П-6, стр.28).

4.12. Определяют ширину растекания потока на берме по формуле (эта ширина сохраняется и на откосе насыпи)

$$B_{\text{раст}} = 16 \frac{D^2}{L_S} \left(\frac{a}{a_K} \right)^{\frac{D}{L_S}} \left(\frac{x}{D} \right)^{0,8 \left(\frac{a}{a_K} \right)^{0,5}}, \quad (36)$$

где $B_{\text{раст}}$ - ширина растекания потока в створе, проекция расстояния которого от выхода из трубы равна x

L_S - размер бермы вдоль потока.

4.13. Определяют среднюю глубину потока на откосе у подошвы насыпи из уравнения Шези, считая (в запас), что на откосе установится равномерный режим течений, и принимая истинное поперечное сечение потока равноугловым:

$$h_{ng} = \left(\frac{a n \sqrt{m_{\text{от}}}}{B_{\text{раст}}} \right)^{2/3}, \quad (37)$$

где n - коэффициент шероховатости, принимаемый для бетонных укреплений равным 0,015.

4.14. Находят среднюю скорость потока у подошвы откоса

$$V_{ng} = \frac{a}{h_{ng} B_{\text{раст}}}. \quad (38)$$

4.15. По скоростям у подошвы насыпи $V_{пу}$ определяют тип укрепления откоса бермы (насыпи) и укрепления, расположенного у подошвы насыпи, согласно "Руководству по гидравлическим расчетам малых искусственных сооружений" (табл. П-6, стр. 28).

4.16. Назначают тип выходного русла, определяют глубину размыва и размеры укреплений на подошвой насыпи: для недеформируемых русел согласно "Руководству по гидравлическим расчетам малых искусственных сооружений" (гл. VI), для деформируемых русел - согласно рекомендациям настоящей главы. При этом для учета запаса расчетный расход увеличивается на 30%. Для недеформируемых русел при расчете размыва по формуле (24) принимают $\psi = 1$, а длину укрепления - равной длине откоса и бермы.

Отвод воды на берму и откос насыпи
отсыпанной из камня

4.17. Определяют скорости потока на лькоде из трубы $V_{лик}$ согласно рекомендациям п. 2.23.

4.18. Устанавливают минимальный средний диаметр частиц наброски d_H , из которой может быть отсыпана лизовая часть насыпи, по формулам:

для однородных частиц $\left(\frac{d_{max}}{d_H} \leq 2 \right)$

$$d_H = \frac{V_{лик}^2}{45}; \quad (39)$$

для горной массы $\frac{d_{max}}{d_H} > 2$

$$d_H = \frac{V_{лик}^2}{25}; \quad (40)$$

где d_{max} - диаметр наиболее крупных частиц, которых в наброске более 5%;

d_H - средний диаметр частиц наброски.

4.19. Определяют минимальный размер бермы вдоль потока, при которой поток, вытекающий из трубы, не попадает непосредственно на откос, по формуле (35).

4.20. Вычисляют ширину растекания потока на берме по формуле (36) с введением в нее понижающего коэффициента

0,6, учитывающего особенности работы каменной наброски по сравнению с бетонным укреплением. На откосе эта ширина растекания сохраняется.

4.2Г. Назначают протяженность участка насыпи, отсыпанного из камня, ~ ширину фильтрующей части подсыпки. В первом приближении ее принимают равной $b_{ср} = B_{расг}$.

Далее каменная подсыпка рассматривается как фильтрующая насыпь (перебиваемая или неперебиваемая). Расчет ее производится согласно "Руководству по гидравлическим расчетам малых искусственных сооружений" (гл.УП).

4.22. Определяют нормальную глубину фильтрационного потока, предполагая, что весь расход профильтрует через подсыпку, по формуле

$$h_0 = \frac{Q \sqrt{m_{от(кос)}}}{b_{ф} K_{ф}}, \quad (4I)$$

где $m_{от(кос)}$ - коэффициент заложения откоса косогора;
 $K_{ф}$ - коэффициент фильтрации, м/с.

Для однородной наброски $K_{ф}$ определяется по табл.7.

Т а б л и ц а 7

Средний диаметр каменной насыпи, приведенных к шару, см	$K_{ф}$ для наброски из каменной насыпи, м/с			Средний диаметр каменной насыпи, при приведенных к шару, см	$K_{ф}$ для наброски из каменной насыпи, м/с		
	круглых	промежуточных	остроугольных		круглых	промежуточных	остроугольных
5	0,15	0,17	0,19	30	0,43	0,48	0,53
10	0,23	0,26	0,29	35	0,46	0,52	0,58
15	0,30	0,33	0,37	40	0,50	0,56	0,62
20	0,35	0,39	0,43	45	0,53	0,60	0,66
25	0,39	0,44	0,49	50	0,56	0,63	0,70

Для неоднородной наброски коэффициент фильтрации определяется согласно "Руководству по расчету турбулентной фильтрации в каменно-набросных гидросооружениях" (М., "Энергия", 1976) по формуле

$$K_{\text{ф(неодн)}} = K_{\text{ф(одн)}} \frac{n_{\text{неодн}}}{n_{\text{одн}}} \sqrt{\frac{(1-n_{\text{одн}})n_{\text{неодн}}}{(1-n_{\text{неодн}})n_{\text{одн}}}}, \quad (42)$$

где $K_{\text{ф(одн)}}$ — коэффициент фильтрации для однородной наброски, имеющей средний диаметр частиц фракции d_H , равный эквивалентному диаметру частиц неоднородной наброски;

$n_{\text{одн}}$ и $n_{\text{неодн}}$ — пористость соответственно однородной и неоднородной наброски.

Средний диаметр частиц наброски d_H определяется по формуле

$$d_H = \frac{\sum d_{H(L)} P_L}{(III)},$$

где $d_{H(L)}$ — средний диаметр частиц отдельной фракции;
 P_L — весовая доля фракции.

Пористость неоднородной наброски определяют опытным путем, заливая поры водой. Толщина исследуемого слоя должна быть не менее $5 d_{\text{max}}$.

Для грубых приближений можно считать, что в неоднородной наброске, имеющей небольшой процент мелких частиц (5-7%), коэффициент фильтрации по сравнению с однородной наброской уменьшается на 25-30%.

4.23. Определяют глубину фильтрационного потока H в створе конца трубы (рис.24) из уравнения

$$f(\xi) = \frac{2n \sqrt{n_{\text{от(кос)}}^2 + l}}{h_0 n_{\text{от(кос)}}^2} - f(\xi_0), \quad (43)$$

где l_n — проекция расстояния от конца трубы до точки пересечения откосов отсыпки и косогора в случае отсутствия подтопления со стороны нижнего бьефа (см. рис.24) или до створа, проходящего через урез воды в нижнем бьефе, при подтоплении;

$f(\xi)$ и $f(\xi_0)$ — функции относительных глубин соответственно в створе конца трубы $\xi = \frac{H}{h_0}$ и конца подсыпки $\xi_0 = \frac{h_{\text{от}}}{h_0}$, определяемые при прямоугольном сечении наброски по табл. 8; иные формы сечений приводят к прямоугольным.

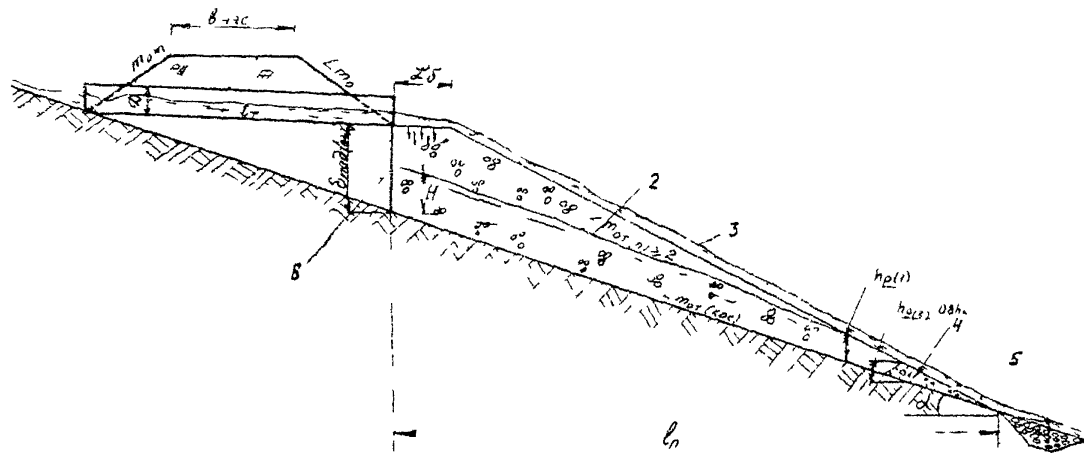


Рис.24. Расчетная схема нижнего бьефа гофрированной трубы, уложенной на подсыпке:
 1 - фильтрующий песок; 2 - поверхность воды для случая, когда весь расход фильтрует через подсыпку; 3 - то же, когда часть расхода слизается по откосу
 стеньги; 4 - обратный фильтр; 5 - рисберма; 6 - экран

При отсутствии подтопления со стороны нижнего бьефа ($h_{нб} = 0$) уравнение имеет вид

$$\frac{e_n \sqrt{m_{от(кос)}^2 + 1}}{h_o m_{от(кос)}^2} = f(\xi). \quad (44)$$

Т а б л и ц а 6

ξ	$f(\xi)$	ξ	$f(\xi)$	ξ	$f(\xi)$
0,00	0,0000	0,69	0,1579	0,900	0,5722
0,05	0,0000	0,70	0,1673	0,905	0,5942
0,10	0,0000	0,71	0,1772	0,910	0,6175
0,15	0,0011	0,72	0,1876	0,915	0,6442
0,20	0,0027	0,73	0,1988	0,920	0,6690
0,25	0,0051	0,74	0,2105	0,925	0,6976
0,30	0,0095	0,75	0,2230	0,930	0,7284
0,35	0,0151	0,76	0,2362	0,935	0,7617
0,40	0,0236	0,77	0,2503	0,940	0,7980
0,45	0,0347	0,78	0,2654	0,945	0,8378
0,50	0,0493	0,79	0,2814	0,850	0,8818
0,55	0,0684	0,80	0,2986	0,755	0,9307
0,60	0,0931	0,81	0,3170	0,960	0,9859
0,61	0,0989	0,82	0,3368	0,965	1,0489
0,62	0,1050	0,83	0,3581	0,970	1,1225
0,63	0,1114	0,84	0,3812	0,975	1,2097
0,64	0,1182	0,85	0,4062	0,980	1,3176
0,65	0,1253	0,86	0,4333	0,985	1,4573
0,66	0,1323	0,87	0,4631	0,990	1,6566
0,67	0,1407	0,88	0,4958	0,995	1,9995
0,68	0,1491	0,89	0,5319	1,000	∞

4.24. Определяют устойчивость низового откоса подсыпки из условия

$$\xi < \xi_{гр} \quad (45)$$

где \mathcal{L} — равность бьефов;
 $\mathcal{L}_{пр}$ — предельная равность уровней бьефов, при превышении которой нарушается устойчивость низового откоса подсыпки.

\mathcal{L} и $\mathcal{L}_{пр}$ определяют по формулам

$$\mathcal{L} = H + \frac{\ell_n}{m_{от(кос)}} - h_{нд}; \quad (46)$$

$$\mathcal{L}_{пр} = 2,3(tg \varphi_H - tg \beta) \ell_n \frac{\sqrt{m_{от(кос)}^2 + 1}}{m_{от(кос)}} \sqrt{\frac{d_H}{H}}, \quad (47)$$

где φ_H — угол естественного откоса каменной наброски, равный $35-36^\circ$;

$$tg \varphi = 0,695 \pm 0,725;$$

β — угол наклона низового откоса к горизонту.

При соблюдении условия (45) расчет заканчивают, в противном случае уподобляют откос и вновь производят проверку условия (45) и так продолжают до его удовлетворения.

4.25. Проверяют устойчивость основания насыпи против ламинарной фильтрации. Для этого сравнивают глубину H с предельной глубиной $H_{пр}$, обеспечивающей устойчивость против ламинарной фильтрации

$$H_{пр} = \frac{\ell_n \sqrt{m_{от(кос)}^2 + 1}}{\delta m_{от(кос)}}, \quad (48)$$

где δ — коэффициент, определяемый по табл.9.

При $H < H_{пр}$ устойчивость против ламинарной фильтрации обеспечена, в противном случае или увеличивают ширину фильтрующей прослойки $b_{ф}$ и повторяют расчет, или устраивают в основании обратный фильтр.

4.26. Сравнивают глубину потока H с толщиной подсыпки в сечении, проходящем через конец лотка трубы на выходе $\delta_{под(выл)}$.

При $H \leq \delta_{под(выл)}$ весь поток профильтрует внутрь подсыпки, при $H > \delta_{под(выл)}$ часть расхода попадет на откос подсыпки.

4.27. Для случая $H < \delta_{под(выл)}$ устанавливают, не выходит ли поток на откос подсыпки. Для этого делают расстояние

Т а б л и ц а 9

Грунты основания	δ для оснований		Грунты основания	δ для оснований	
	не защищенных обратным фильтром	защищенных обратным фильтром		не защищенных обратным фильтром	защищенных обратным фильтром
Илистые	I2	8	Гравелистые	7	4-3,5
Мелкопесчаные	9-10	6	Суглинистые	7-6	3,5-3
Средне- и крупно- песчаные	8	5-4	Галечниковые	6	3
Лессовидные	8-7	4-3,5	Торф	7-12	6-5

z_1 на 4-х равных частях и в конце каждой на шух (считая от конца подсыпки) определяет глубину потока h_1 по уравнению (43) или (44), подставляя вместо z_0 расстояние от конца подсыпки (уравнение 44) и от уреза воды в нижнем бьефе (уравнение 43) до рассматриваемых створов. Затем в каждом из сечений устанавливает толщину подсыпки $\delta_{\text{под}(z)}$. При равномерном уклоне кривого для этой цели можно воспользоваться формулой

$$\delta_{\text{под}(z)} = \frac{z_1 (H_{\text{откоса}} - H_{\text{отпечи}})}{H_{\text{откоса}} - H_{\text{отпечи}}} \quad (49)$$

При этом возможны два случая:

- А. $\delta_{\text{под}(z)} \geq h_1$ - весь поток фильтрует через подсыпку (безнапорная фильтрующая подсыпка);
- Б. $\delta_{\text{под}(z)} < h_1$ - часть потока выходит на поверхность откоса (напорная фильтрующая подсыпка).

С л у ч а й А ($\delta_{\text{под}(z)} \geq h_1$)

4.2в. Находит расчетную глубину фильтрационного потока, определяющую максимальную скорости турбулентной фильтрации;

в) при отсутствии подтопления со стороны нижнего бьефа

$$h_p = 0,8 \quad h_k = 0,8 \sqrt[3]{\frac{\alpha \alpha^2}{g \rho^2 \epsilon^2 \beta_{\text{ф}}^2}}, \quad (50)$$

где $\alpha = 2,5$ - коэффициент кинетической энергии;

ρ - пористость наброски;

$\epsilon = 0,9$ - коэффициент, учитывающий образование в порах нижней наброски застоя воды;

б) при наличии подтопления

$$h_p - h_{нд}$$

где $h_{нд}$ - глубина в нижнем объеме в конце подсыпки.

4.29. Определяют максимальную скорость турбулентной фильтрации

$$U_m = \frac{1.27 \cdot \lambda}{h_p b_y p E_3} \quad (51)$$

4.30. Сравнивают U_m с допустимыми скоростями для грунтов основания песчан $b_{y,1}$

При $U_m \leq b_{y,1}$ устойчивость основания от турбулентной фильтрации обеспечивается, в противном случае - нет.

Для достижения устойчивости делают вырезку грунта и заменяют его грунтом с $b_{y,1} > b_{y,2}$. Толщина вырезки должна обеспечивать возможность усадки не менее трех слоев частиц грунта, но не менее 3-10 см.

4.31. Устанавливают обратный фильтр у подошвы подсыпки высотой не менее h_p

$$\text{С л о ж и я Б } (\delta'_{нд(г)} \cdot h_c)$$

4.32. Устанавливают расстояния от конца подсыпки до места выклинивания потока на откос:

$$l_{1r} = \frac{M_{от(г)} \cdot M_{от(под)}}{(M_{от(г)} - M_{от(под)})} \cdot \beta_{\phi} K_{\phi} \sqrt{\frac{M}{E_n} + \frac{1}{M_{от(под)}}} \quad (52)$$

4.33. Определяют толщину фал трупшей подсыпки, равную глубине фильтрационного потока, в месте выклинивания потока на откос:

$$\delta_{г1} = \frac{M_{от(г)} \cdot M_{от(под)}}{M_{от(г)} \cdot M_{от(под)}} \cdot l_{1r} \quad (53)$$

4.34. Делят расстояние l_{1r} на 3-4 равные части и в конце каждого сечения подсыпки (считая от конца ее) определяют фильтрационными расходом:

$$Q_{г(г)} = \frac{Q'_{нд(г)}}{\delta'_{нд(г)}} \cdot Q_{г1} \quad (54)$$

где $\delta'_{нд(г)}$ - толщина подсыпки в рассматриваемом сечении;

$Q_{г1}$ - расход в расходе сооружений.

4.35. Определяют средние скорости турбулентной фильтрации:

$$V_{\phi} = K_{\phi} \sqrt{\frac{H}{L_{\phi}} + \frac{1}{M_{от(кв)}}} \quad (55)$$

4.36. Определяют максимальную скорость турбулентной фильтрации:

$$V_M = \frac{1,7 V_{\phi}}{R E_3} \quad (56)$$

4.37. Сравнивают V_M с допустимыми скоростями для грунтов основания подсыпки,

При $V_M \leq V_{доп}$ устойчивость основания подсыпки от турбулентной фильтрации обеспечивается, в противном случае - нет.

Для обеспечения устойчивости требуется произвести вырезку грунта и заменить его грунтом с $V_{доп} > V_M$. Толщина вырезки должна быть не менее трех слоев частиц грунта, но не менее 8-10 см.

4.38. Устанавливают расход потока $Q_{2(L)}$, протекающего на откосе подсыпки в различных сочелениях на участке от места выклинивания потока до конца подсыпки:

$$Q_{2(L)} = Q - Q_{1(L)} \quad (57)$$

4.39. Определяют глубину потока на откосе подсыпки из уравнения Шези при $C = \frac{1}{K}$ (как для быстроточного режима):

$$h_{отк(L)} = \left(\frac{Q_{2(L)} \cdot n \sqrt{M_{от(пос)}}}{V_{расг}} \right)^{2/3} \quad (58)$$

где $M_{от(пос)}$ - коэффициент эволюции низового откоса подсыпки;

n - коэффициент шероховатости откоса.

При $n = 0,05$ (для камня)

$$h_{отк(L)} = 0,135 M_{от(пос)}^{1/3} \left(\frac{Q}{V_{расг}} \right)^{2/3} \quad (59)$$

4.40. Вычисляют скорость потока на откосе:

$$V_{отк(L)} = \frac{Q_{2(L)}}{h_{отк(L)} \cdot B_{расг}} \quad (60)$$

4.41. Проверяют устойчивость камней наброски на откосе:

для однородной наброски

$$V_{\text{доп(отк)}} \leq 6,7 \sqrt{d_H}; \quad (61)$$

для горной массы

$$V_{\text{доп(отк)}} \leq 5 \sqrt{d_{H(г)}} \quad (62)$$

При несоблюдении этих условий крупность камня на поверхности откоса увеличивают (укладывается не менее трех слоев).

4.42. Назначают конструктивно обратный фильтр у подошвы откоса высотой 0,5 м и шириной понизу I м.

Последующий расчет является общим для случаев А и Б.

4.43. Назначают у подошвы откоса укрепление из каменной наброски, размеры которого определяют в соответствии с Рекомендациями, изложенными в гл.3, учитывая следующие особенности.

При определении глубины размыва по формуле (24) расход принимают равным расходу в сооружении $Q_{\text{соор}}$, длину укрепления - равной сумме длин откоса подсыпки, укрепления у ее подошвы и ширины бермы.

Ширину воронки размыва вычисляют по формуле

$$B'_{\text{min}} = B_{\text{min}} + 2 \Delta h_{\text{max}}, \quad (63)$$

где B_{min} определяют по формуле (33), принимая длину укрепления равной сумме ширины бермы и длины укрепления у подошвы откоса.

Сравнивая B'_{min} с $B_{\text{раст}}$, устанавливают ширину укрепления по большей из них величине.

Сброс потока в лотки, уложенные на откосе насыпи

4.44. Определяют глубину и скорость потока на выходе из трубы по графикам (см. рис. 14 и 15).

4.45. Назначают высоту стенок лотка (считая от дна по оси его):

$$\alpha \quad h_{\text{в.л.}} + 0,35, \quad (64)$$

где 0,35 - величина возвышения стенок лотка над уровнем воды в нем.

4.46. Определяют проекции расстояния от выхода из трубы до сечения падения струй в лотке:

$$X = \frac{V_{\text{в.л.}}^2}{g \cdot m_{\text{от}}} \sqrt{\frac{V_{\text{в.л.}}^4}{g^2 \cdot m_{\text{от}}^2} + \frac{2h_{\text{в.л.}} V_{\text{в.л.}}^2}{g}}, \quad (65)$$

где $m_{\text{от}}$ - коэффициент заложения низового откоса насыпи

Равность отметок лотка в сечениях падения струй и выхода из трубы равна

$$S = \frac{X}{m_{\text{от}}}$$

4.47. Определяет полную энергию потока в сечении падения струй согласно "Руководству по гидравлическим расчетам малых искусственных сооружений"

$$E_0 = h_{\text{в.л.}} + \frac{V_{\text{в.л.}}^2}{2g} \quad (66)$$

4.48. Находят подбором из приведенного ниже уравнения глубину потока в сечении падения струй, приняв ее равной сжатой глубине

$$T_0 = h_c + \frac{V_{\text{в.л.}}^2}{2g \cdot C^2 \cdot \omega_c^2} \quad (67)$$

где ω_c - площадь потока в сжатом сечении;

C - коэффициент скорости, определяемый по табл. 10.

Т а б л и ц а 10

$\frac{h}{B}$	0,15	0,20	0,30	0,40	0,50	0,60	0,70	0,80	0,90
C	0,75	0,80	0,85	0,87	0,89	0,91	0,92	0,93	0,94

Для этого задаются относительной сжатой глубиной $\frac{h_c}{B}$ и определяют площадь живого сечения потока в лотке кругового сечения по формуле, справедливой при $0,01 < \frac{h_c}{B} < 0,1$

$$\omega = D^2 \left(\frac{h_c}{B} \right)^{2/3} \quad (68)$$

4.49. Устанавливают глубину потока в конце лотка у подшвы откоса из уравнения неравномерного движения (метод В.И.Черномского)

$$l = \frac{h_{пг} + \frac{11Q^2}{2\psi} \left(\frac{1}{\omega_c^2} - \frac{1}{\omega_c^2} \right)}{i_f} - h_c \quad (69)$$

где l - расстояние между сечениями со сжатой глубиной h_c и у подшвы откоса $h_{пг}$ имеющими соответственно площади живого сечения потока ω_c и

$\omega_{пг}$
 $i_f = \left(\frac{Q}{K_{ср}} \right)^2$ - средний уклон трения между сечениями;
 $K_{ср} = \omega_{ср} C_{ср} \sqrt{R_{ср}}$

$\omega_{ср}, C_{ср}, R_{ср}$ соответственно средние для участка площадь сечения потока, коэффициент Шези и гидравлический радиус; их можно определить как полусуммы соответствующих величин в рассматриваемых сечениях.

Коэффициент Шези для быстроточного режима (имеет место в лотке) определяют по формуле

$$C = \frac{1}{n} \quad (70)$$

При $n = 0,025$ (для гофрированных элементов трубы о гладким лотком) $C = 40$.

Гидравлический радиус R определяют по формуле, справедливой при $0,05 \leq \frac{h}{D} \leq 0,50$:

$$R = 0,5 D \left(\frac{h}{D} \right)^{2/3} \quad (71)$$

Расчет ведут следующим образом:

а) Задается глубиной у подшвы откоса $h_{пг}$ и вычисляют относительную глубину $\frac{h_{пг}}{D}$. Для нее находят по формулам (68), (70) и (71) $\omega_{пг}, C, K_{пг}$.

Затем по значению $\frac{h_c}{D}$ находят ω_c, C, R_c

б) Вычисляют $\omega_{ср} = \frac{\omega_c + \omega_{пг}}{2}$ и $R_{ср} = \frac{R_c + R_{пг}}{2}$

в) Вычисляют $K_{ср} = \omega_{ср} C \sqrt{R_{ср}}$ и $i_f = \left(\frac{Q}{K_{ср}} \right)^2$

г) По формуле (69) определяют расстояние l между сечениями с глубинами h_c и $h_{пг}$

д) Сравнивают полученное расстояние ℓ с расстоянием от свайного сечения до подошвы откоса (считая по откосу) $\ell_{с-пг}$ определяемым по формуле

$$\ell_{с-пг} = (P \cdot S) \sqrt{1 + m_{ог}^2}, \quad (72)$$

где P - разность отметок лотка в месте падения струй и у подошвы откоса.

е) Если $\ell \neq \ell_{с-пг}$, то $h_{пг}$ изменяют до тех пор, пока $\ell = \ell_{с-пг}$. Полученное при этом значение $h_{пг}$ будет искомым.

4.50. Вычисляют относительную глубину у подошвы откоса $\frac{h_{пг}}{D}$ и по ее значению площадь поперечного сечения потока в конце лотка (у подошвы откоса) по формуле (68).

Приблизительно при $0,05 \leq \frac{h_{пг}}{D} \leq 0,5$ можно принять глубину потока в лотке у подошвы откоса равной нормальной глубине и определять ее по формуле

$$h_{пг} = h_0 = 1,12 \sqrt{Qn \sqrt{\frac{m_{ог}}{D}}} \quad (73)$$

Затем по $\frac{h_{пг}}{D}$ находят согласно формуле (68) площадь поперечного сечения потока $\omega_{пг}$. Скорость на выходе из лотка в этом случае будет несколько завышенной.

4.51. Вычисляют скорость потока на выходе из лотка (у подошвы откоса)

$$V_{пг} = \frac{Q}{\omega_{пг}} \quad (74)$$

4.52. Подбирают по скорости $V_{пг}$ тип укрепления у подошвы откоса. Для этого находят тип укрепления, для которого соблюдается условие $U_{пг} \leq V_{гдоп}$

4.53. В соответствии с изложенными выше рекомендациями определяют глубину размыва и размеры укрепления в зависимости от принятых типов укреплений учитывая следующие особенности.

1. В формуле (24) для определения предельной глубины принимают:

$\theta = D$;
 $v_p = D_L$, где D_L - диаметр круговых элементов лотка ;

D_3 a_k - находят по диаметру трубы ;

$L \geq 3D$ - соответствует длине укрепления у подошвы откоса .

В формулу (24) вводят коэффициент K_{np} , учитывающий неравномерность распределения удельных расходов в лотке, определяемый по формуле, справедливой при $\Pi_c \leq 0,6$,
 $m_{от} \geq 1,5$:

$$K_{np} = \frac{1,3}{\sqrt{\Pi_a m_{от}}} , \quad (75)$$

где $\Pi_a = \frac{Q}{v^2 \sqrt{q} D}$ - параметр расхода в трубе диаметра D

2. При применении ребра в конце укрепления длиной $4,6 D$ и сечением $0,1 D \times 0,1 D$, расположенного симметрично относительно оси лотка, в выражение для определения предельной глубины размыва¹ вводят коэффициент $K_{рб}$, учитывающий пониженную кинетичность потока в конце лотка :

$$K_{рб} = \frac{0,8}{\frac{v_{выкл(л)}}{\sqrt{q} D_L}} , \quad (76)$$

где $v_{выкл(л)}$ - скорость на выходе из лотка .

Формула (70) справедлива при условии

$$0,8 \leq \frac{v_{выкл(л)}}{\sqrt{q} D_L} \leq 2,0 .$$

Формула для определения предельной глубины размыва в выходных руслах с ребром приобретает вид

$$\Delta h'_{перест} = 0,6 D_3 \left(\frac{Q}{a_k} \right)^{0,4} K_{рб} \left[\frac{D_3^2}{\left(\frac{L}{D} + 1 \right) D_L} \right]^{0,2} . \quad (77)$$

При $\frac{Q}{a_k} \gg 1$ принимают $\frac{Q}{a_k} = \frac{1}{I}$.

¹ См. "Руководство по гидравлическим расчетам малых искусственных сооружений" , стр.18 .

3. максимальную глубину размыва определяют по формулам:

в выходных руслах без гасителя

$$\Delta h'_{\text{max}} = 0,6 \Delta h_{\text{пр}} K_{\text{НР}} ; \quad (78)$$

выходных руслах с ребром

$$\Delta h'_{\text{max}} = 0,6 \Delta h_{\text{пр(рб)}} K_{\text{рб}} \quad (79)$$

4. Ширину укрепления в конце его вычисляют по формуле (33), в которую подставляют Δh_{max} , т.е. коэффициенты $K_{\text{НР}}$ и $K_{\text{рб}}$ не учитываются.

ПРИМЕРЫ РАСЧЕТОВ

Примеры назначения отверстий и определения пропускной способности круглых гофрированных труб

Пример I. Гофрированная труба без оголовков (с вертикальным срезом) расположена на железной дороге. Высота насыпи $H_{нас} = 3,5$ м, ширина поверху $b_{нас} = 6,5$ м, крутизна откосов 1:1,5. Уклон лотка трубы соответствует уклону лота и равен $i_T = 0,03$. Гладкий лоток расположен на $1/3$ периметра поперечного сечения трубы.

Расходы притока с бассейна $Q_p = 2,4$ м³/с, $Q_{max} = 4,0$ м³/с. Сток снеговой - аккумуляция не учитывается.

Требуется подобрать отверстие трубы и определить подпорные глубины, а также глубины и скорости на выходе из нее.

Решение I. Определяем длину трубы $l_T = 6,5 + 3 \times 3,5 = 17$ м.

2. Находим отверстие трубы.

Согласно "Инструкции по проектированию и строительству металлических гофрированных водопропускных труб" (ВСН 176-78) гофрированные трубы на железных дорогах должны пропускать расчетные и наибольшие расходы при безнапорном режиме и иметь при этом заповнение на входе при пропуске расчетного расхода $(\frac{h_{вх}}{D})_p \leq 0,75$, при пропуске наибольшего расхода $(\frac{h_{вх}}{D})_{max} \leq 0,9$.

По графику рис.5 настоящих Методических рекомендаций находим для трубы без оголовка с вертикальным срезом (кривая 2) параметры расхода, соответствующие указанным выше заповнениям:

$$\text{при } (\frac{h_{вх}}{D})_p = 0,75 \quad P_{Q(p)} = \frac{Q_p}{D^2 \sqrt{g D}} = 0,265;$$

$$\text{при } (\frac{h_{вх}}{D})_{max} = 0,90 \quad P_{Q(max)} = \frac{Q_{max}}{D^2 \sqrt{g D}} = 0,347.$$

Зная параметры расхода, находим по заданным расходам минимальные диаметры трубы по формуле

$$D = \left(\frac{Q_p}{\rho_a \sqrt{g}} \right)^{2/5}$$

$$\text{При } Q_p = 2,4 \text{ м}^3/\text{с} \quad D_p = \left(\frac{2,4}{0,265 \sqrt{9,81}} \right)^{2/5} = 1,53$$

$$\text{При } Q_{\text{max}} = 4,0 \text{ м}^3/\text{с} \quad D_{\text{max}} = \left(\frac{4,0}{0,347 \sqrt{9,81}} \right)^{2/5} = 1,67 \text{ м.}$$

Принимаем к расчету ближайшее большее типовое отверстие $D = 2,0 \text{ м}$.

3. Устанавливаем, будет ли труба "длинной" или "короткой" в гидравлическом отношении.

Сравниваем уклон трубы i_T с критическим i_K .

Находим i_K по графику (см. рис. 2) для трубы $D = 2,0 \text{ м}$:

$$\text{при } Q_p \quad \rho_{a_p} = 0,265 \quad i_K = 0,015 < i_T = 0,03;$$

$$\text{при } Q_{\text{max}} \quad \rho_{a_{\text{max}}} = 0,347 \quad i_K = 0,016 < i_T = 0,03.$$

Следовательно, труба "короткая".

Проверка по критерию относительной длины трубы не требуется.

4. Определяем подпорные глубины перед трубой по формуле (8) для безнапорного режима

$$H = \left(\frac{Q}{\rho b_K \sqrt{2g}} \right)^{2/3}$$

Предварительно находим коэффициент расхода для трубы без оголовка по табл. I ($m = 0,33$) и b_K по табл. 2 настоящих Методических рекомендаций.

Для расчетного расхода $Q_p = 2,4 \text{ м}^3/\text{с}$

$$\rho_{a_p} = \frac{2,4}{2,0^2 \sqrt{9,81} \cdot 2} = 0,135; \quad b_{K(p)} = 1,40 \text{ м}, \quad H_p = \left(\frac{2,4}{0,33 \cdot 1,4 \sqrt{2 \cdot 9,81}} \right)^{2/3}$$

$$= 1,11 \text{ м}$$

для наибольшего расхода $Q_{\text{max}} = 4,0 \text{ м}^3/\text{с}$

$$\rho_{a_{\text{max}}} = \frac{4,0}{2 \sqrt{9,81} \cdot 2} = 0,23; \quad b_{K(\text{max})} = 1,56 \text{ м};$$

$$H_{\text{max}} = \left(\frac{4,0}{0,33 \cdot 1,56 \sqrt{2 \cdot 9,81}} \right)^{2/3} = 1,46 \text{ м.}$$

5. Находим возвышение бровки полотна над попертым уровнем $\Delta_{бп}$

При высоте насыпи $H_{нас} = 3,5$ м

$$\Delta_{бп(р)} = 3,5 - 1,11 = 2,39 \text{ м} > 1,0,$$

$$\Delta_{бп(тл)} = 3,5 - 1,46 = 2,04 \text{ м} > 1,0 \text{ м}.$$

Требования технических условий выдержаны.

6. Определим глубины и скорости на выходе из трубы соответственно по графикам рис. 14 и 15 при $\epsilon_T = 0,03$.

При $Q_p = 2,4 \text{ м}^3/\text{с}$ $\Pi_{2p} = 0,135$; $\left(\frac{h_{бвх}}{D}\right)_p = 0,21$;

$$h_{бвх(р)} = 0,21 \cdot 2 = 0,42 \text{ м}; \quad \frac{V_{бвх(р)}}{\sqrt{gD}} = 1,04; \quad V_{бвх(р)} = 1,04\sqrt{9,81 \cdot 2} = 4,6 \text{ м/с}.$$

При $Q_{тл} = 4,0 \text{ м}^3/\text{с}$ $\Pi_{2тл} = 0,23$; $\left(\frac{h_{бвх}}{D}\right)_{тл} = 0,335$;

$$h_{бвх(тл)} = 0,335 \cdot 2 = 0,67;$$

$$\frac{V_{бвх(тл)}}{\sqrt{gD}} = 1,14; \quad V_{бвх(тл)} = 1,14\sqrt{9,81 \cdot 2} = 5,05 \text{ м/с}.$$

Пример 2. Гофрированная труба расположена на автомобильной дороге. Гладкий лоток расположен на $1/3$ периметра поперечного сечения трубы. Высота насыпи 4,0 м, ширина поверху $b_{нас} = 12$ м, крутизна откосов $1:1,5$, уклон лотка трубы $\epsilon_T = 0,02$. Расчетный расход притока с бассейна $Q_p = 6,0 \text{ м}^3/\text{с}$, сток снеговой - аккумуляция не учитывается.

Требуется подобрать отверстие трубы и определить подпорные глубины, а также глубины и скорости на выходе из нее.

Решение I Определяем длину трубы $\ell_T = 12 \cdot 3 \cdot 4 = 24 \text{ м}$.

2. Задаемся минимально принятым в практике проектирования отверстием гофрированной трубы $D = 1,5$ м,

3. Устанавливаем, будет ли труба "длинной" или "короткой" в гидравлическом отношении.

а) Сравниваем уклон трубы ι_T с критическим ι_K . Предварительно определяем параметр расхода по номограмме (см. рис. 6). При $Q = 8,0 \text{ м}^3/\text{с}$ он равен $\Pi_Q = 0,94$.

По графику рис. 2 для $D = 1,5 \text{ м}$ и $\Pi_Q = 0,94$ находим $\iota_K = 0,0475$. Таким образом, $\iota_T = 0,02 < \iota_K = 0,0475$.

Требуется проверка по критерию относительной длины.

б) Производим проверку по критерию относительной длины: $\frac{\ell_T}{D} = \frac{24}{1,5} = 16 < 20$. Следовательно, труба "короткая".

4. Определяем подпорные глубины перед трубой согласно рекомендациям гл. 2.

а) Устанавливаем режим протекания потока. Для этого определяем внезаде относительную глубину на входе в трубу $\frac{h_{вк}}{D}$ по графику (см. рис. 5). Для трубы без оголовка (кривая 2) при $\Pi_Q = 0,94 < 1,35$ находим $\frac{h_{вк}}{D} > 1$. Следовательно, в трубе возможны полунпорный или частично-напорный режимы.

Для установления режима протекания в этом случае определяем подпорную глубину перед трубой H при полунпорном режиме по формуле (10) для "коротких" труб

$$H = \frac{Q^2}{2\gamma M_n^2 \omega_{с\text{оп}}^2} + \epsilon_n D.$$

Предварительно находим коэффициент расхода M_n и коэффициент сжатия ϵ_n в определяющем сечении при полунпорном режиме по табл. 3: $M_n = 0,56$ и $\epsilon_n = 0,63$.

$$H_p = \frac{8^2}{2 \cdot 9,81 \cdot 0,56^2 \cdot 1,77^2} + 0,63 \cdot 1,5 = 4,28 \text{ м.}$$

Следовательно, относительная подпорная глубина

$$\frac{H}{D} = \frac{4,28}{1,5} = 2,85.$$

Затем находим относительную граничную подпорную глубину потока $\frac{H_{г}}{D}$ по формуле (5)

$$\frac{H_{г}}{D} = K_g \left(\frac{H_{г}}{D} \right)'$$

для этого определяем коэффициент K_D по графику (см. рис. 8) при $\delta = 0,67$:

$$K_D = 1,26.$$

Далее находим относительную граничную подпертую глубину для труб без гладких лотков по графику (см. рис. 7) в зависимости от относительной длины трубы $\frac{\ell_T}{D} = 16$ и ее уклона $i_T = 0,02$

$$\left(\frac{H_L}{D}\right)' = 1,48.$$

Откуда $\frac{H_T}{D} = 1,26 \cdot 1,48 = 1,86.$

Сравнивая относительную подпертую глубину $\frac{H}{D}$ с $\frac{H_T}{D}$, устанавливаем режим протекания $\frac{H}{D} = 2,85 > \frac{H_T}{D} = 1,86$. Режим частично-напорный так как $Pa = 0,94 < 1,35.$

б) Находим подпертую глубину при частично-напорном режиме из формулы (II).

Так как $\frac{\ell_T}{D} = 16 < 20$, то изменять длину не требуется и в расчет вводится полная длина ее ℓ_T .

Расчет начинаем с определения по графику (см. рис. 9) при $\ell_T = 24$ м $M_H = 0,60$ и по графику (см. рис. 10) при $Pa = 0,94$ $\eta_H = 0,75.$

Подпертая глубина

$$H = \frac{2,9 \frac{Q^2}{M_H^2} \alpha_{\text{коор}}^2 - \ell_T \ell_T + \eta_H D}{8,02} = \frac{2,9 \cdot 81 \cdot 0,60^2 \cdot 1,77^2 - 0,02 \cdot 24 + 0,75 \cdot 1,5}{8,02} = 2,92 - 0,48 + 1,12 = 3,56 \text{ м.}$$

5. Определяем возвышение бровки полотна над подпертым уровнем.

При высоте насыпи $H_{нас} = 4,0$ м $\Delta_{вн} = 4,0 - 3,56 = 0,44 < 0,5$ м.

Требования Технических условий не выдерживаются.

Увеличиваем отверстие трубы до $D = 2,0$ м и повторяем расчеты начиная с п. 3.

6. Устанавливаем, будет ли труба "длинной" или "короткой" в гидравлическом отношении.

а) Сравниваем уклон трубы i_T с критическим $i_{к}$.

Предварительно определяем параметр расхода по номограмме (см. рис. 6).

При $Q = 8,0 \text{ м}^3/\text{с}$ имеем $\Pi_Q = 0,45$.

По графику рис.2 для $D = 2,0 \text{ м}$ и $\Pi_Q = 0,45$ находим $i_K = 0,0175$.

Таким образом, $i_T = 0,02 > i_K = 0,0175$ - труба "короткая".

Проверка по критерию относительной длины не требуется.

7. Определяем подпертые глубины перед трубой согласно требованиям гл.2.

Устанавливаем режим протекания потока.

Для этого определяем вначале относительную глубину на входе в трубу $\frac{h_{гк}}{D}$ по графику (см.рис.5).

Для трубы без оголовка (кривая 2) при $\Pi_Q = 0,45 < 1,35$ находим $\frac{h_{гк}}{D} > 1$ - в трубе возможны полунеполный или частично-напорный режимы.

Для установления режима протекания определяем подпертую глубину перед трубой H . При полунеполном режиме из формулы (10) при тех же коэффициентах M_n и ε_n , что и при расчете трубы $D = 1,5 \text{ м}$,

$$H = \frac{8^2}{2 \cdot 9,81 \cdot 0,56^2 \cdot 3,14^2} + 0,63 \cdot 2 = 2,31 \text{ м.}$$

Следовательно, относительная подпертая глубина

$$\frac{H}{D} = \frac{2,31}{2} = 1,16.$$

Затем находим относительную граничную подпертую глубину потока по формуле (5) при $\delta = 0,67$ и $K_\delta = 1,26$.

Для этого сначала находим относительную граничную подпертую глубину для труб без гладких лотков по графику (см. рис.7) в зависимости от относительной длины трубы

$$\frac{L_T}{D} = 12 \text{ и ее уклона } i_T = 0,02 (2\%)$$

$$\left(\frac{H_C}{D}\right)' = 1,42.$$

$$\text{Откуда } \frac{H_C}{D} = 1,26 \cdot 1,42 = 1,79.$$

Сравнивая относительную подпертую глубину $\frac{H}{D}$ с величиной $\frac{H_C}{D}$, устанавливаем режим протекания

$$\frac{H}{D} = 1,16 \quad \frac{H_r}{D} = 1,79 - \text{режим полунанерный.}$$

Принимаем к расчету $H = 2,31$ м.

8. Определяем превышение бровки над подпертым уровнем. При высоте насыпи $H_{нас} = 4,0$ м $\Delta_{вн} = 4,00 - 2,31$ м = $1,69 > 1,0$ м. Следовательно, требования технических условий выдержаны.

9. Определяем глубины и скорости на выходе из трубы соответственно по графикам (см. рис. 14 и 15) при $\tau = 0,02$.

При $Q = 8,0$ м³/с $\Pi_Q = 0,45$;

$$\frac{H_{вых}}{D} = 0,49; \quad h_{вых} = 0,49 \cdot 2 = 0,98 \text{ м};$$

$$\frac{V_{вых}}{D} = 1,24; \quad V_{вых} = 1,24 \cdot \sqrt{9,81} \cdot 2,0 = 5,49 \text{ м/с.}$$

Пример 3. Двухъярусная гофрированная труба без оголовков с гладкими лотками на 1/3 ширины поперечного сечения расположена на железной дороге

Первый ярус состоит из трех труб $D = 2,0$ м, второй - из двух труб $D = 1,5$ м. Сток снеговой. Расходы притока с бассейна: $Q_p = 40$ м³/с; $Q_{отл} = 55,0$ м³/с. Высота насыпи 10 м, ширина поверху $\ell_{нас} = 6,5$ м.

Уклоны труб $\epsilon_r = 0,01$. Остальные данные приведены на рис. 1 приложения.

Требуется определить подпертый уровень перед двухъярусной трубой, скорости на выходе и подобрать тип укрепления.

Решение. Так как сток снеговой, то аккумуляцию воды перед сооружением не учитываем и принимаем расходы притока в качестве расходов в сооружении. Расчет ведем согласно рекомендациям гл. 2.

Предварительно определяем длину труб обоих ярусов: длина труб первого яруса $\ell_{(1)} = 6,5 + 3 \times 10 = 36,5$ м, второго яруса $\ell_{(2)} = 0,5 + 3 \times 7,5 = 29$ м.

Далее устанавливаем, работают ли трубы второго яруса. Для этого определяем расход, пропускаемый трубами первого яруса при уровне, соответствующем отметке лотка на входе в трубы второго яруса.

Согласно данным, приведенным на рис. 1, подпертая глубина перед трубами первого яруса в том случае будет равна разности отметок лотков второго ($\ell_{л(2)}$) и первого ярусов (ℓ):

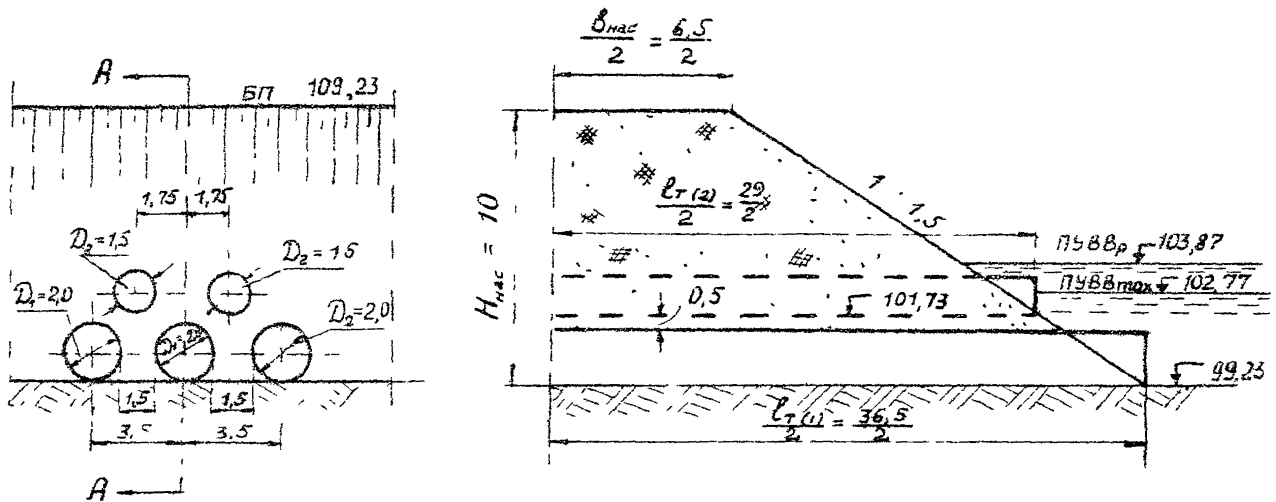


Рис. I. Схема многослойной трубы (размеры в метрах)

$$H_1 = \mathcal{E}_{\lambda(2)} - \mathcal{E}_{\lambda(1)} = 101,73 - 99,23 = 2,5 \text{ м.}$$

Определяем расход, пропускаемый трубами первого яруса при $H_1 = 2,5 \text{ м}$, предполагая полунапорный режим протекания.

По формуле (10) находим

$$Q = n_T / M_n \cdot c_{кор} \sqrt{2g} (H_1 \mathcal{E}_{кор} D),$$

где n_T — число тру в ярусе; в первом ярусе $n_T = 3$.

коэффициенты M_n и F_n берем по табл.3 настоящих Методических рекомендаций для трубы без оголовка с вертикальным срезом ($M_n = 0,56$ и $\mathcal{E}_n = 0,63$).

$$Q = 3 \cdot 0,56 \cdot \frac{3 \cdot [4 \cdot 2^2]}{4} \sqrt{2 \cdot 9,81 (2,5 - 0,63 \cdot 2)} = 26,0 \text{ м}^3/\text{с.}$$

Полученный расход меньше расчетного и наибольшего расходов трубы. Следовательно, работают трубы обоих ярусов.

Дальнейший расчет выполняем в табличной форме (табл. I) Сущность расчета заключается в следующем. Задаемся расходами второго яруса и по ним находим расходы первого яруса и всей труоп. Затем строим зависимость $H = f(Q)$ и по заданным Q_p и Q_{max} находим соответствующие им H_p и H_{max} .

Т а б л и ц а I

№ п/п	Элементы расчета	Расходы каждой трубы второго яруса Q м/с		
		1,0	3,0	5,0
Второй ярус				
1	Диаметр труб D_2 , м	1,5	1,5	1,5
2	Параметр расхода $N_{Q(2)}$ $\frac{Q_2}{D_2^2 \sqrt{g D_2}}$	0,115	0,345	0,578
3	Уклон трубы i_T	0,01	0,01	0,01
4	Критический уклон по графику (см. рис. 2)	0,016	0,018	0,024
5	Длина трубы l_1 , м	29	29	29
6	Относительная длина труоп $\frac{l_{T(1)}}{D^2}$	19,3	19,3	19,3

Продолжение табл. I

№ п/п	Элементы расчета	Расходы каждой трубы второго яруса Q , м ³ /с		
		1,0	3,0	5,0
7	Труба "короткая" или длинная	"Короткая", так как $\frac{H_{гг}}{D_2} < 19,3 < 20$	"Короткая"	"Короткая"
8	Относительная глубина на входе в трубу $\frac{H_{гг}}{D_2}$ (см. рис. 5)	0,43	0,87	I
9	Режим протекания	Безнапорный	Безнапорный	Полунапорный или частичнонапорный
10	Подпертая глубине $H_2(б)$ м, при безнапорном режиме - формула (8)	0,76	1,42	-
11	Подпертая глубина $H_2(п)$ при полунапорном режиме - формула (10)	-	-	2,23
12	Относительная подпертая глубина при полунапорном режиме $\frac{H_{2(п)}}{D_2}$	-	-	1,56
13	Граничная подпертая глубина для гофрированных труб без гладкого лотка $(\frac{H_{гг}}{D})'$ - см. рис. 7	-	-	1,26
14	Коэффициент K_3 , учитывающий влияние гладких лотков, - см. рис. 8	-	-	1,20
15	Граничная подпертая глубина для труб с гладкими лотками $\frac{H_{гг}}{D_2} = K_3 (\frac{H_{гг}}{D})'$	-	-	1,48
16	Режим протекания	Безнапорный	Безнапорный	$\frac{H}{D_2} = 1,56 > \frac{H_{гг}}{D} = 1,48$ $n_{\alpha} < 1,35$ Частичнонапорный
72				

Продолжение табл. I

№ п/п	Элементы расчета	Расходы каждой трубы второго яруса Q , м ³ /с		
		1,0	3,0	5,0
17	Длина концевой участка трубы, на котором имеется отрыв потока от верха трубы l_0 , м - см. рис. II	-	-	6
18	Расчетная длина трубы, м $l'_T = l_T - l_0$	-	-	23
19	Коэффициент расхода при напорном или частично-напорном режимах - см. рис. 9	-	-	0,60
20	$i_T l_T$	-	-	0,23
21	Коэффициент η_n - см. рис. IO	-	-	0,97
22	Подпертая глубина при частично-напорном режиме $H_2(l_{чн})$, м, - формула (II) Относительная подпертая глубина $\frac{H_2(l_{чн})}{D_2}$	-	-	2,36 $1,57 > \frac{H_c}{D_2} = 1,48 > 1,4$ Подпертая глубина сокращается
23	Отметка лотка на входе в трубу	101,73	101,73	101,73
24	Отметка подпертого уровня ПУВВ, Z_2 Трубы первого яруса	102,49	103,15	104,09
25	Отметка лотка на входе в трубу $Z_{(A)}$, м	99,23	99,23	99,23
26	Подпертая глубина $H_1 = Z_2 - Z_{(A)}$, м	33,26	3,92	4,86
27	Относительная подпертая глубина $\frac{H_1}{D_1}$	1,63	1,96	2,43
28	Длина трубы $l_{T(1)}$, м	36,5	36,5	36,5
29	Относительная длина трубы $\frac{l_{T(1)}}{D_1}$	18,25	18,25	18,25
30	$(\frac{H_c}{D})'$ - см. рис. 7	1,26	1,26	1,26

Продолжение табл. I

№ п/п	Элементы расчета	Расходы каждой трубы второго яруса Q, м³/с		
		1,0	3,0	5,0
31	K_3 - см. рис. 8	1,2	1,2	1,2
32	$\frac{H_c}{D} = \left(\frac{H_c}{D_1}\right) K_3$	1,51	1,51	1,51
33	Режим протекания	1,63 > 1,51 Частично-напорный	1,96 > 1,51 Частично-напорный	2,43 > 1,51 Частично-напорный
34	$M_{H(1)}$ - см. рис. 9	0,59	0,59	0,59
35	$i_T \ell_T$	0,36	0,36	0,36
36	$Q_{(1)}$ - формула (II) при $\eta_{H(1)} = 0,75$	12	13,7	15,5
37	$\Pi_{Q(1)} = \frac{Q_{(1)}}{D^2 \sqrt{g D_1}}$	0,68	0,78	0,88
38	$\ell_{O(1)}$ - см. рис. II при $\Pi_{Q(1)}$	4,2	2,5	1,2
39	Расчетная длина трубы $\ell'_T = \ell_T - \ell_{O(1)}$	32,3	34	35,3
40	$M_{H(2)}$ - см. рис. 9 в функции ℓ'_T	0,60	0,60	0,59
41	$\eta_{H(2)}$ - см. рис. IO при $\Pi_{Q(1)}$	0,92	0,95	0,79
42	$i_T \ell_T$	0,32	0,34	0,35
43	$Q_{(2)}$ - формула (II) при $\eta_{H(2)}$ и $M_{H(2)}$	11	13,2	15,3
44	Отклонение $\frac{Q_{(2)} - Q_{(1)}}{Q_{(1)}} 100\%$	8,3 > 3	1,5 < 3	1,3 < 3
45	$\Pi_{Q(2)} = \frac{Q_{(2)}}{D^2 \sqrt{g D_1}}$	0,62	-	-
46	$\ell_{O(2)}$ - см. рис. II при $\Pi_{Q(2)}$	6,5	-	-
47	$\ell'_{T(2)} = \ell_T - \ell_{O(2)}$	30	-	-
48	$M_{H(3)}$ - см. рис. 9	0,61	-	-
49	$\eta_{H(3)}$ - см. рис. IO при $\Pi_{Q(2)}$	0,97	-	-
50	$i_T \ell'_{T(2)}$	0,30	-	-
51	$Q_{(3)}$ - формула (II) при $\eta_{H(3)}$	10,3	-	-
52	Отклонение $\frac{Q_{(3)} - Q_{(2)}}{Q_{(2)}} 100\%$	1,3 < 3	-	-

Продолжение табл. I

№ п/п	Элементы расчета	Расходы каждой трубы, второго яруса Q , м ³ /с		
		1,0	3,0	5,0
53	Принятые расходы каждой трубы первого яруса	11	13,7	15,5
54	Расход всех труб первого яруса ΣQ_1 м ³ /с	33	41,1	46,5
55	Расход всех труб второго яруса ΣQ_2 м ³ /с	2	6	10
56	Расход многоярусной трубы, м ³ /с	35	47,1	56,5

Для существенного ускорения расчета многоярусных труб, состоящих из гофрированных труб $D = 1,5$ и $D = 2,0$ м, можно пользоваться графиками рис. I2 и I3.

Порядок расчета следующий.

Определяют по графикам (см. рис. I2 и I3) расход многоярусной трубы при подпертой глубине, соответствующей отметке лотка труб второго яруса.

При $H = 2,50$ м (см. рис. I приложения) находим по графику (см. рис. I3) для $D_1 = 2,0$ м $Q_1 = 8,7$ м³/с и $\Sigma Q_1 = 3 \cdot 8,7 = 26,1$ м³/с. Этот расход меньше $Q_p = 40$ м³/с и $Q_{\text{max}} = 55$ м³/с. Следовательно, трубы второго яруса работают.

Далее расчет аналогичен приведенному выше и отличается от него тем, что выполняется полностью по графикам. Расчет производят в табличной форме (табл. 2).

Разнице в расходах, определяемых по графикам и формулам, получается небольшая (не более 3%).

Искомые подпертые глубины (уровни) определяем путем построения зависимости $Q = f(H)$ для многоярусной трубы (рис. 2 приложения).

На рис. 2 для $Q_p = 40,0$ м³/с находим $H_p = 3,54$ м и $H_{\text{ВВ}} = 99,23 + 3,54 = 102,77$ м.

Т а б л и ц а 2

№ п/п	Элементы расчета	Расходы каждой трубы второго яруса Q м ³ /с		
		1,0	3,0	5,0
Второй ярус				
1	Диаметр трубы D_2 , м	1,5	1,5	1,5
2	Длина трубы $l_{T(2)}$, м	29,0	29,0	29,0
3	H_2 , м - см.рис.12	0,76	1,42	2,33
4	Отметка лотка на входе в трубы второго яруса $Z_{2(1)}$	101,73	101,73	101,73
5	Отметка подпертого уровня $ПУВВ = Z_{2(1)} + H_2$, м	102,49	103,15	104,06
Первый ярус				
6	Отметка лотка на входе в трубу	99,23	99,23	99,23
7	Подпертая глубина $H_1 = ПУВВ -$ $- Z_{1(1)}$	3,26	3,92	4,83
8	Расход Q_1 - см.рис.12	11,1	13,3	15,7
	Расход всех труб первого яруса $\Sigma Q_1 = 3 Q_1$	33,3	39,9	47,1
10	Расход всех труб второго яруса $\Sigma Q_2 = 2 Q_2$	2,0	6,0	10,0
11	Расход двухъярусной трубы $Q = \Sigma Q = 3 Q_1 + 2 Q_2$	35,3	45,9	57,1
12	Разница в расходах при расчете по графикам по сравнению с рас- четом по формуле $\frac{Q_{\text{граф}} - Q_{\text{форм}}}{Q_{\text{форм}}} \%$	0,8	2,6	1,0

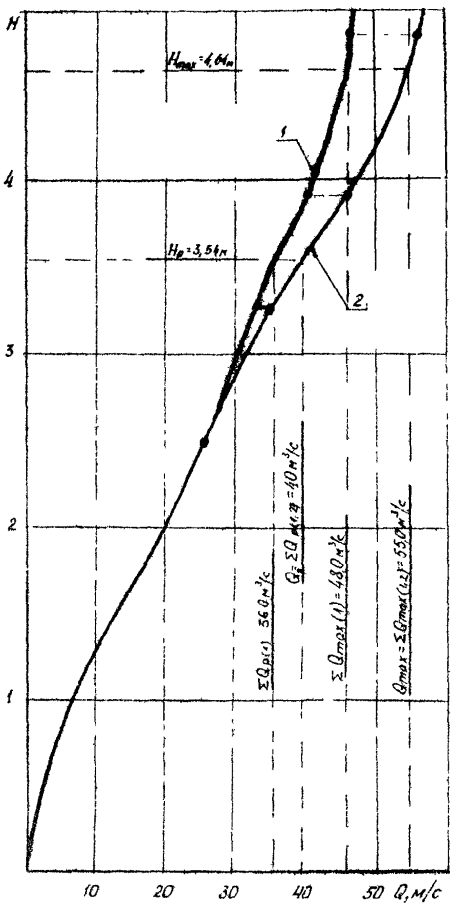


Рис.2. Графическое определение пропускной способности многоярусной трубы:
 $1 - \Sigma Q_1 = f(H)$, трубы первого яруса; $2 - \Sigma Q = f(H)$, многоярусная труба

Для $Q_{\text{мг}} = 55,0 \text{ м}^3/\text{с}$ $H_{\text{млх}} = 4,64 \text{ м}$ и $ИВВ_{\text{млх}} = 99,23 + 4,64 = 103,87 \text{ м}$.

Определяем скорости потока на выходе из труб первого яруса, по которым устанавливаем тип укрепления на выходе.

Предварительно находим по графику (см. рис. 2 приложения) расходи труб первого яруса при установленных подпорных глубинах

$$\Sigma Q_{\text{рч}} = 36,0 \text{ м}^3/\text{с} ; \Sigma Q_{\text{млх}} = 45,5 \text{ м}^3/\text{с}.$$

Зтем по графику (см. рис. 15) определяем:

$$\text{при } \Pi_{\text{ар}} = \frac{\Sigma Q_{\text{рч}}}{\Pi_{\text{т}} \cdot \sqrt{g \cdot D}} = \frac{36}{3,2 \cdot \sqrt{9,81 \cdot 2}} = 0,68 \text{ и } \zeta_{\text{т}} = 0,01$$

$$\frac{V_{\text{вых(рч)}}}{\sqrt{g \cdot D}} = 1,29 \text{ и } V_{\text{вых(рч)}} = 1,29 \sqrt{9,81 \cdot 2} = 5,7 \text{ м/с};$$

$$\text{при } \Pi_{\text{а млх}} = \frac{\Sigma Q_{\text{млх}}}{\Pi_{\text{т}} \cdot \sqrt{g \cdot D}} = \frac{45,5}{3,2 \cdot \sqrt{9,81 \cdot 2}} = 0,86$$

$$\frac{V_{\text{вых(млх)}}}{\sqrt{g \cdot D}} = 1,40 \text{ и } V_{\text{вых(млх)}} = 1,40 \sqrt{9,81 \cdot 2} = 6,15 \text{ м/с}.$$

Согласно Техническим условиям допускаемые скорости при пропуске $Q_{\text{млх}}$ увеличивают на 35% или фактические скорости уменьшают на эту же величину.

$$\text{Поэтому } V'_{\text{вых(млх)}} = 6,15 : 1,35 = 4,58 \text{ м/с}.$$

$$\text{Принимаем к расчету } V_{\text{вых(рч)}} = 5,7 \text{ м/с} > V'_{\text{вых(млх)}} = 4,58 \text{ м/с}.$$

$$\text{По скорости } V_{\text{вых(рч)}} = 5,7 \text{ м/с} \text{ подбираем по табл. П-6}$$

"Руководства по гидравлическим расчетам малых искусственных сооружений" тип укрепления - монолитное укрепление из бетона марки 140.

Примеры расчета нижних бьефов труб

Пр и м е р 1. Гофрированная труба без оголовков с гладким лотком на 1/3 периметра поперечного сечения $D = 1,5 \text{ м}$ расположена на автомобильной дороге. Уклон лотка трубы $\zeta_{\text{т}} = 0,01$. Расчетный расход в сооружении $Q_{\text{р}} = 3,0 \text{ м}^3/\text{с}$. Основание неустойчивое: возможен лучение грунта, просадки.

Требуется определить глубину размыва и размеры укрепления в нижнем бьефе.

Р е ш е н и е. Так как основание сооружения неустойчиво, то укрепление может быть лишь из каменных блоков

или ее сочетания с блоками. Расчет ведем в такой последовательности.

1. Увеличиваем расчетный расход на 30% для учета возможной ошибки в расходе:

$$1,3 Q_p = 1,3 \times 3,0 = 3,9 \text{ м}^3/\text{с}$$

2. Определяем скорости потока на выходе из сооружения при пропуске $1,3 Q_p$. Для этого предварительно вычисляем параметр расхода

$$\Pi_Q = \frac{Q}{D^2 \sqrt{gD}} = \frac{3,9}{1,5^2 \sqrt{9,81 \cdot 1,5}} = 0,455$$

и по графику (см. рис. 15) находим $\frac{v_{\text{вых}}}{\sqrt{gD}} = 1,12$.

Скорость потока на выходе будет равна $v_{\text{вых}} = 1,12 \times \sqrt{9,81 \cdot 1,5} = 4,3 \text{ м/с}$.

Так как $3,5 \text{ м/с} < v_{\text{вых}} = 4,3 \text{ м/с} < 5,5 \text{ м/с}$, то возможно применить лишь укрепление из каменной наброски и бетонных блоков.

3. Назначаем длину укрепления

$$L = 1,5 D_3 = 1,5 \cdot 1,5 = 2,25 \text{ м.}$$

Принимаем $L = 3 \text{ м}$.

4. Определяем эталонный расход

$$Q_K = 1,6 D_3^{3/2} = 1,6 \cdot 1,5^{3/2} = 4,3 \text{ м}^3/\text{с.}$$

5. Определяем масштабный коэффициент δ_M по табл. 4 - $\delta_M = 0,82$.

6. Принимаем $\Psi = 0,6$ - предохранительный откос отсутствует.

7. Определяем предельную глубину размыва по формуле (24), которая при $D = D_3$ имеет вид

$$\Delta h_{\text{пр}} = \delta_M \Psi D \left(\frac{Q}{Q_K} \right)^{0,6} \left[\frac{D}{\left(\frac{d}{D} + 1 \right) d} \right]^{0,2}$$

Принимаем средний диаметр частиц грунта $d = 0,5 \text{ мм}$, тогда

$$\Delta h_{\text{пр}} = 0,82 \cdot 0,6 \cdot 1,5 \left(\frac{3,9}{4,3} \right)^{0,6} \left[\frac{1,5}{\left(\frac{0,0005}{1,5} + 1 \right) 0,0005} \right]^{0,2} = 2,77 \text{ м.}$$

8. Определяем максимальную глубину размыва по формуле (28) при $\eta = 0,6$

$$\Delta h_{\text{max}} = \eta \Delta h_{\text{пр}} = 0,6 \cdot 2,77 = 1,66 \text{ м.}$$

9. Определяем глубину размыва в руслах с каменной наброской и блоками, соответствующую глубине заложения концевой части (рисбермы) по формуле (30)

$$h_{\text{ук}}^3 - M h_{\text{ук}}^2 - N = 0.$$

Вычисляем коэффициенты M и N :

$$M = \Delta h_{\text{пр}} \left(\frac{d}{d_{\text{н}}} \right)^{1/3} = \Delta h_{\text{пр}} \left(\frac{0,5}{2,50} \right)^{1/3} = 0,126 \Delta h_{\text{пр}} = 0,126 \cdot 2,77 = 0,35,$$

$$N = \frac{A d_{\text{н}}}{1,75} \Delta h_{\text{max}}^2 = 0,0186 A h_{\text{max}}^2 = \frac{0,13 \cdot 0,25}{1,75} \cdot 1,66^2 = 0,051;$$

Определяем подбором глубину размыва, равную глубине заложения рисбермами $h_{\text{ук}}$ из уравнения:

$$h_{\text{ук}}^3 - 0,35 h_{\text{ук}} - 0,051 = 0;$$

$$h_{\text{ук}} = 0,52 \text{ м.}$$

Принимаем, что концевая часть состоит из двух рядов блоков (по вертикали), т.е. $h_{\text{ук}} = 0,80$ м.

10. Определяем удельный объем камня в рисберме

$$W_{\text{к}} = 1,75 h_{\text{ук}}^2 = 1,75 \cdot 0,80^2 = 1,12 \text{ м}^3/\text{м.}$$

11. Вычисляем размеры укрепления в плане: длина укрепления $L = 3,0$ м; ширина укрепления в конце оголовка $B_{\text{Г}}$.

Принимая форму укрепления из блоков (за исключением концевой части) прямоугольной, находим ширину укрепления у оголовка $B_{\text{Г}}$ по ширине растекания в конце укрепления $B_{\text{раст}}$ по формуле (31).

Предварительно определяем по формуле (32) показатель степени

$$n = 0,78 + 0,36 \lg \frac{Q_{\text{к}}}{Q} = 0,78 + 0,36 \lg \frac{4}{3,19} = 0,78 + 0,05 = 0,81.$$

$$B_{\text{раст}} = 1,5 \left[\left(\frac{3,0}{1,5} + 1 \right)^{0,81} - 1 \right] + 1,5 = 3,5 \text{ м.}$$

При диаметре трубы $D = 1,5$ м и обеспечении запаса в размере укрепления по $1,0$ м с каждой стороны труб имеем ширину укрепления у оголовка $B_1 = 3,5$ м $\approx B_{расч}$

Исходя из размера блоков в плане ($1,0 \times 1,0$ м) принимаем ширину укрепления $B_1 = 4,0$ м.

Ширину укрепления в конце его по условиям разрыва определяем по формуле (35).

$$\text{Предварительно по } \frac{\Delta h_{max}}{D} = \frac{1,66}{1,5} = 1,11 \text{ и } \frac{L}{D} = \frac{5,0}{1,5} = 2,0$$

с помощью графика (см. рис. 18) находим коэффициент $K = 0,68$.

Откуда $B_{кон} = \frac{3,6}{0,68} \times 1,66 = 8,7$ м. Принимаем $B_{кон} = 9$ м.

Полученные размеры укреплений приведены на рис. 3 приложения.

Пример 2. Гофрированная косогорная труба расположена на железной дороге. Отверстие трубы $D = 1,5$ м. Уклон лога $i_L = 0,25$ (соответствует заложению откосов косогоры $M_{откос} = 4$). Высота насыпи по оси трубы $H_{нас} = 5,0$ м. Ширина поверху $6,5$ м, верховой откос крутизной $1:1,5$. Расходы в сооружении $Q_p = 2,5$ м³/с, $Q_{max} = 5,0$ м³/с. Подтопление со стороны нижнего бьефа отсутствует. В основании насыпи залегают пески среднезернистые со средним диаметром $d = 0,50$ мм.

Требуется назначить тип выходных русел указанной косогорной трубы и произвести соответствующие гидравлические расчеты.

Решение. Так как труба расположена на крутом косогоре, то укладываем ее в теле насыпи на подсыпке (рис. 4 приложения). Уклон трубы назначаем равным $i_T = 0,01$. Откосы и верну насыпи отсыпаны из камня. Низовой откос отсыпки назначаем $M_{отсып} = 2$ (на рис. 4 приложения этот откос показан пунктиром).

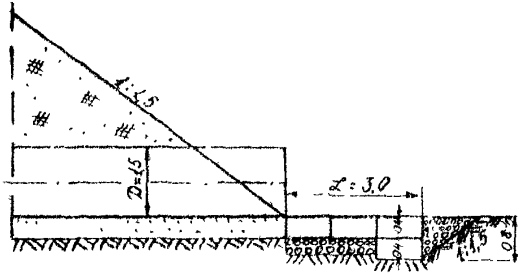
Расчет выполняем в соответствии с рекомендациями гл. 4 применительно к рассматриваемому случаю.

Предварительно увеличиваем расчетный расход на 30% для учета возможной ошибки и обеспечения необходимого запаса:

$$1,3 \cdot Q_p = 1,5 \cdot 2,5 = 3,75 \text{ м}^3/\text{с} \approx Q_{max} = 5,0 \text{ м}^3/\text{с}.$$

$$\text{расчет берем при расходе } Q_{max} = 5,0 \text{ м}^3/\text{с}.$$

Вид сбоку



План

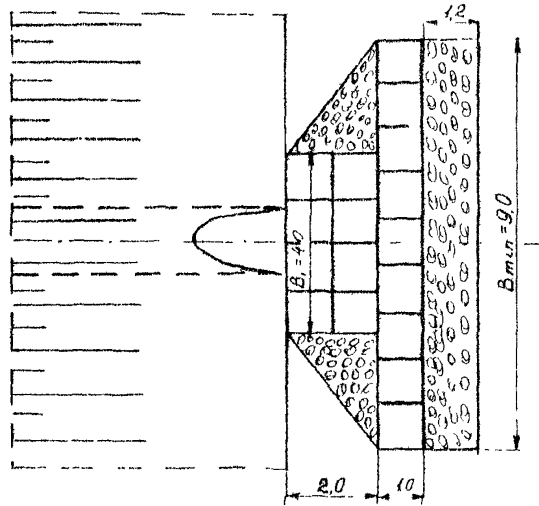


Рис.3. Размеры выходных русел из
блоков и каменной наброски
(в метрах)

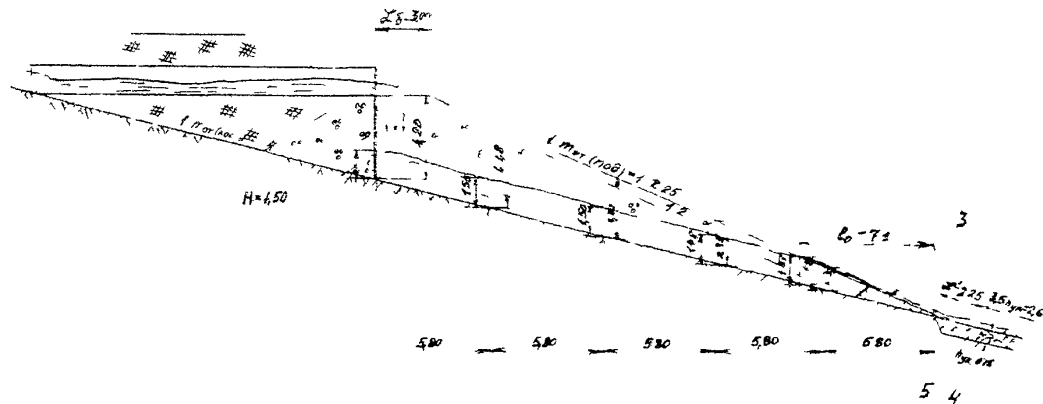


Рис. 301

Fig. 4. Нижний бьеф косогорной гофрированной трубы при сбросе потока на каменную подсыпку:
 1 - экран; 2 - фильтрующий поток; 3 - обратный фильтр высотой $\delta_0 = 0,5$ м; 4 - рисберма; 5 - укрепление из каменной наброски

Порядок расчетов следующий.

1. Определяем глубины и скорости потока на выходе из трубы по графиком (см. рис. 14 и 15).

Предварительно находим параметр расхода

$$\Pi_Q = \frac{Q}{D^2 \sqrt{gD}} = \frac{3,0}{1,5^2 \sqrt{9,81 \cdot 1,5}} = 0,347.$$

Далее по $\Pi_{Qн}$ $z_r = 0,01$ находим $\frac{h_{гвх}}{D} = 0,44$ и

$$h_{гвх} = 0,44 \cdot 1,5 = 0,66 \text{ м, } \frac{V_{гвх}}{\sqrt{gD}} = 1,02 \text{ и}$$

$$V_{гвх} = 1,02 \sqrt{9,81 \cdot 1,5} = 3,91 \text{ м/с.}$$

2. Устанавливаем по формуле (39) средний диаметр наброски, считая ее однородной

$$d_n = \frac{V_{гвх}^2}{4,5} = \frac{3,91^2}{4,5} = 0,34 \text{ м.}$$

Принимаем $d_n = 35$ см.

Отсыпаем на берме и откосе три слоя камня крупностью $d_n = 35$ см, остальную часть — из горной массы (средний диаметр частиц $d_n = 25$ см) с содержанием молчих частиц 5-7%.

3. Определяем по формуле (35) минимальный размер бермы вдоль лотка, при которой поток, вытекающий из трубы, не попадает непосредственно на откос

$$L_{битыл} = 1,2 l_{гвх} \sqrt{\frac{2h_{гвх}}{g}} = 1,2 \cdot 3,91 \sqrt{\frac{2 \cdot 0,66}{9,81}} = 1,7 \text{ м.}$$

Принимаем с запасом $L_B = 3,0$ м.

4. Определяем ширину растекания потока на берме по формуле (36) с введением в нее понижающего коэффициента 0,6, учитывающего особенности каменной наброски по сравнению с бетонным укреплением $0,8 \left(\frac{Q}{Q_K}\right)^{0,5}$

$$B_{раст} = 9,6 \frac{D^2}{L_B} \left(\frac{Q}{Q_K}\right)^{0,5} \left(\frac{r}{D}\right)$$

$$\text{Где } x - L_B = 3,0 \text{ м, а } Q_K = 1,6 D^{5/2} = 1,6 \cdot 1,5^{5/2} = 4,41 \text{ м}^3/\text{с.}$$

$$\text{Откуда } B_{раст} = 9,6 \frac{1,5^2}{3} \left(\frac{3,0}{4,41}\right)^{0,5} \left(\frac{3,0}{1,5}\right)^{0,8} \left(\frac{3,0}{4,41}\right)^{0,5} = 9,4 \text{ м.}$$

5. Назначаем длину участка насыпи, отсыпанной из камня, т.е. ширину фильтрующей прослойки b_f .

Принимаем $b_f = b_{р.н.} = 10$ м.

Далее ведем расчет фильтрующей подсыпки как фильтрующей насыпи.

6. Определим по формуле (41) нормальную глубину фильтрационного потока, предполагая, что весь расход про- фильтрует через подсыпку.

Предварительно находим коэффициент фильтрации для горной массы $K_{ф(г)}$ со средней крупностью камней $d_n = 25$ см. Расчет можно произвести по формуле (42), но из-за отсутствия данных о пористости горной массы приближенно (согласно п.4.22 настоящих методических рекомендаций) находим по табл. 7 коэффициент фильтрации для однородной наброски и уменьшаем его на 25%

$$K_{ф(г)} = \frac{0,49}{\Gamma,25} = 0,40 \text{ м/с.}$$

Тогда $h_0 = \frac{Q_{н(потока)}}{b_f K_{ф}} = \frac{3,0 \sqrt{4}}{10 \cdot 0,40} = 1,50 \text{ м.}$

7. Определим глубину фильтрационного потока H в створе, проходящем через конец трубы, из уравнения (44) - подтол- ление снизу отсутствует. Для этого предварительно нахо- дим проекцию расстояния от конца трубы до точки пересе- чения откосов отсыпки и косого ра (см. рис.4 приложения) - $l_n = 23,4$ м.

Затем вычисляем

$$\frac{l_n \sqrt{1 + \tan^2 \alpha} + l}{h_0 \tan(\alpha)} = f(\xi) = \frac{23,4 \sqrt{4^2 + 1}}{1,50 \cdot 4^2} = 4,02.$$

Согласно табл.3 по $f(\xi) = 4,02$

находим $\xi = \frac{H}{h_0} = 1,0$ и $H = h_0 = 1,50$ м.

3. Определим устойчивость низового откоса подсыпки из условия (45).

Предварительно определим разность отметок бьефов по формуле (46)

$$\mathcal{L} = H + \frac{\ell_n}{m_{\text{от(отос)}}} = 1,5 + \frac{23,4}{4} = 7,35 \text{ м.}$$

Вычисляем $\mathcal{L}_{\text{пр}}$ по формуле (47) при крутизне откоса подсыпки 1:2 ($\text{tg } \beta = 0,5$) и $d_n = 0,35$ м

$$\begin{aligned} \mathcal{L}_{\text{пр}} &= 2,3 (\text{tg } \varphi - \text{tg } \beta) \frac{\sqrt{m_{\text{от(отос)}}^2 + 1} \sqrt{d_n}}{m_{\text{от(отос)}}} = \\ &= 2,3 (0,725 - 0,500) \frac{23,4 \sqrt{4^2 + 1} \sqrt{0,35}}{4 \sqrt{1,50}} = \end{aligned}$$

$= 6,04 < \mathcal{L} = 6,35$ м. Следовательно, откос неустойчив и требуется сделать его положе.

Принимаем $m_{\text{от(прп)}} = 2,25$ ($\text{tg } \beta = 0,444$) и по рис.4 приложения находим $\ell_n = 28,9$ м (откос 1:2,25 изображен сплошной линией).

Тогда имеем

$$\mathcal{L}_{\text{пр}} = 2,3 (0,725 - 0,444) \frac{28,9 \sqrt{4^2 + 1} \sqrt{0,35}}{4 \sqrt{1,50}} = 9,3 \text{ м.}$$

При этом $\mathcal{L} = 1,5 + \frac{28,9}{4} = 8,72 \text{ м} < 1,3 \text{ м.}$

Следовательно, устойчивость низового откоса обеспечена.
9. Проверяем устойчивость основания насыпи от ламинарной фильтрации. Для этого определяем $H_{\text{пр}}$ по формуле (48), причем входящий в нее коэффициент находим по табл.9.

Для средневерных песков, не защищенных обратным фильтром, $\delta = 8$. Откуда $H_{\text{пр}} = \frac{\ell_n \sqrt{m_{\text{от(отос)}}^2 + 1}}{\delta m_{\text{от(отос)}}} = \frac{28,9 \sqrt{4^2 + 1}}{8 \cdot 4} = 3,72 \text{ м.}$

$H = 1,50 \text{ м} < H_{\text{пр}} = 3,72 \text{ м.}$ Следовательно, устойчивость основания насыпи против ламинарной фильтрации обеспечена.

10. Сравниваем глубину потока H с толщиной подсыпки $\delta_{\text{под(вык)}}$ в сечении, проходящем через конец лотка трубы на выходе. На рис.4 приложения $\delta_{\text{под(вык)}} = 4,2 \text{ м} > H = 1,50 \text{ м.}$ Итви, весь поток, выходящий из трубы, профильтровывается через подсыпку.

11. Устанавливаем, не выходит ли поток в каком-либо из сечений подсыпки на поверхность. Для этого делим расстояние $\ell_n = 28,9$ м на пять равных частей $\ell_i = \frac{28,9}{5} = 5,8 \text{ м}$

и в конце каждой из них (считая от конца подсыпки) определяем глубину потока h_i из уравнения (44). Затем в каждом из сечений устанавливаем толщину подсыпки $\delta_{под(i)}$, для чего можно воспользоваться формулой (49).

Сравнивая h_i с $\delta_{под(i)}$, устанавливаем, выйдет ли поток на откос. Это случится при $h_i > \delta_{под(i)}$.

Расчет выполняем в табличной форме (табл.3).

Т а б л и ц а 3

Номер участка	Проекция расстояния от конца подсыпки до данного сечения l , м	$f(\xi) = \frac{M_{откос} - M_{от(под)}}{M_{откос}}$	ξ (по табл. 8)	$h_i - \xi h_0$, м	$\delta_{под(i)}$ (по рис. 4 приложения)	$\delta_{под(i)} - h_i$	Вид потока
1	5,80	1,0	0,96	1,43	1,13	< 0	Поверхный поток
2	11,60	2,0	1,00	1,48	2,25	> 0	Фильтрационный поток
3	17,40	3,0	1,00	1,50	3,38	> 0	То же
4	23,10	3,98	1,00	1,50	4,48	> 0	" "
5	28,90	4,98	1,00	1,50	4,20	> 0	" "

Анализ результатов расчета показывает, что фильтрационный поток на части откоса выходит на поверхность.

Нанеся глубины фильтрационного потока на чертеж (см. рис. 4 приложения), устанавливаем, что поток выклинивается на откос на втором участке.

Устанавливаем расстояние от конца подсыпки до места выклинивания потока по формуле (52)

$$l_{гп} = \frac{M_{откос} - M_{от(под)}}{(M_{откос} - M_{от(под)}) \cdot K_f \cdot \sqrt{\frac{H}{\xi_n} + \frac{1}{M_{откос}}}} = \frac{3,0 \cdot 4 \cdot 2,25}{(4 - 2,25) \cdot 10 \cdot 0,4 \sqrt{\frac{1,2}{28,8} + 0,25}} = 7,1 \text{ м.}$$

12. Определяем толщину подсыпки в этом сечении, равную глубине потока, по формуле (49)

$$\delta_{под(гп)} = \frac{M_{откос} - M_{от(гп)}}{M_{откос} - M_{от(гп)}} \cdot \frac{4 - 2,25}{4 \cdot 2,25} \cdot 7,1 = 1,37 \text{ м.}$$

Выше этого сечения имеется лишь фильтрационный поток (безнапорная фильтрующая подошвка), ниже его часть потока выходит на откос (напорная фильтрующая подошвка).

13. Определяем фильтрационные расходы в различных сечениях напорной фильтрующей подошвки. Для этого делим расстояние от конца подошвки до сечения, где поток выклинивается на поверхность откоса на три части длиной $\ell_i = \frac{7,1}{3} = 2,37$ м каждая и в конце каждого сечения подошвки (считая от конца ее) определяем фильтрационный расход по формуле (54) при глубине потока $h = \delta_{\text{пор}}$. Эту глубину можно вычислить по формуле (49).

Расчет производим в табличной форме (табл. 4).

Номер участка	Расстояние от конца подошвки до заданного сечения ℓ , м	$h_i = \delta_{\text{пор}}$, м, по формуле (49)	Фильтрационный расход $Q_i = \frac{h_i \cdot Q}{h}$
Подошва откоса	0	0	0
1	2,37	0,46	14,0
2	4,74	0,42	2,0
3	7,1	1,37	3,0

14. Определяем средние скорости турбулентной фильтрации по формуле (55)

$$v_{\text{ср}} = K_{\text{ф}} \sqrt{\frac{H}{\ell_n} + \frac{I}{\text{Погр(кос)}}} = 0,4 \sqrt{\frac{1,5}{28,9} + \frac{1}{4}} = 0,22 \text{ м/с.}$$

15. Находим максимальную скорость турбулентной фильтрации по формуле (56)

$$v_{\text{м}} = \frac{1,71 v_{\text{ср}}}{\rho \epsilon_3} = \frac{1,7 \cdot 0,22}{0,40 \cdot 0,9} = 1,04 \text{ м/с.}$$

Пористость горной массы $P = 0,40$ либо принимаем по табл.7 для камня той же крупности, что и однородный камень, но для круглых частиц, либо уменьшаем $K_{\Phi}(\text{доп}) = 0,49$ на 25%.

16. Сравниваем V_M с допускаемыми скоростями для среднезернистых песков. Для этого находим $V_{\text{дон}} = 0,35$ м/с по табл. П-6 "Руководства по гидравлическим расчетам малых искусственных сооружений": $V_M = 1,04$ м/с $> V_{\text{дон}} = 0,35$ м/с. Следовательно, устойчивость основания подошвы ст турбулентной фильтрации не обеспечена.

Вырезаем грунт основания и заменяем его материалом, допускаемая скорость которого больше или равна V_M

По табл. П-6 "Руководства по гидравлическим расчетам малых искусственных сооружений" находим, что этому условию удовлетворяет галька (или щебень) с частицами крупностью 1,5-2,0 см.

Укладываем ее не менее трех слоев, поэтому вырезку надо делать на глубину 8-10 см (для условия БМ этот материал можно уложить в основание насыпи без вырезки естественного грунта).

17. Определяем расходы потока, протекающего по откосу подошвы в каждом из створов $Q_2 = Q - Q_1$, а также глубины и скорости течения на откосе по формулам (59) и (60).

Затем сравниваем полученные скорости с допускаемыми для камня по формуле (61) и устанавливаем устойчивость его. Расчет ведем в табличной форме (табл.5) для тех же сечений что и в п.12, принимая установленную ранее крупность камня на откосе $d_M = 0,35$ м.

Т а б л и ц а 5

Номер участка	Расстояние от конца подошвы, м	$Q_2 = Q - Q_1$, м ³ /с	h _{отк} , м, по формуле (59)	$\omega_{\text{отк}} = \frac{V_{\text{отк}}}{V_{\text{дон}}}$	$V_{\text{отк}}$, м/с, по формуле (60)	$V_{\text{доп(отк)}}$, м/с, по формуле (61)
Подошва откоса	0	3,0	0,081	0,8	3,75	4,0
1	2,37	2,0	0,061	0,6	3,32	4,0
2	4,74	1,0	0,04	0,4	2,5	4,0
3	7,1	0	0	0	0	4,0

Анализ результатов расчета показывает, что устойчивость камня $d_n = 0,35$ м на откосе обеспечена.

18. Назначаем у подошвы укрепление из каменной наброски, размеры которого определяем в соответствии с рекомендациями, изложенными в гл.3 (тип укрепления см.на рис.17').

а) Назначаем длину укрепления из наброски у подошвы откоса $L' = 1,5 D = 1,5 \times 1,5 = 2,25$ м.

б) Определяем расчетную длину укрепления, которая складывается из ширины бермы L_0 , длины откоса подошвы $\frac{L_n \sin(\alpha_{откос}) + 1}{\sin(\alpha_{откос})}$ и длины укрепления у подошвы откоса L' :

$$L_0 = 3 + \frac{28,9 \sqrt{4^2 + 1}}{4} + 2,25 = 35,85 \text{ м}$$

в) Определяем предельную глубину размыва в крутизне лога по формуле (24).

Предварительно находим величины, входящие в эту формулу:

$$J_M = 0,82 \text{ (по табл.4 настоящих Методических рекомендаций);}$$

$$Q_K = 1,6 D^{5/2} = 1,6 \cdot 1,5^{5/2} = 4,42 \text{ м}^3/\text{с};$$

$$\psi = 0,6;$$

$$e = e_p = 1,5 \text{ м};$$

$$d = 0,50 \text{ мм} = 0,0005 \text{ м};$$

$$\Delta h_{нр} = 0,82 \cdot 0,6 \cdot 1,5 \left(\frac{3 \cdot 0}{4,42} \right)^{0,6} \left[\frac{1,5^3}{\left(\frac{35,85}{1,5} + 1 \right) 1,5 \cdot 1,5 \cdot 0,0005} \right]^{0,2} = 1,51 \text{ м.}$$

г) Определяем максимальную глубину размыва

$$\Delta h_{max} = 0,6 \Delta h_{нр} = 0,6 \cdot 1,51 = 0,91 \text{ м.}$$

д) Определяем коэффициенты M и N в уравнении (30):

$$M = \Delta h_{нр} \left(\frac{d}{d_n} \right)^{1/3} 1,51 \left(\frac{0,5}{0,35} \right)^{1/3} = 0,19,$$

$$N = 0,0715 \Delta h_{нр}^2 = 0,0715 \cdot 0,91^2 = 0,06$$

е) Составляем уравнение

$$h_{нр} - 0,19 h_{нр}^2 - 0,06 = 0.$$

Решив его подбором, находим $h_{нр} = 0,46$ м.

Так как укрепление из каменной наброски должно быть трехслойным, а диаметр камня верхнего слоя $d_n = 35$ см, то извлекаем его состоящим из трех слоев:

верхний слой d_n равен 35 см, а остальные два по 20 см. Общая толщина укрепления в концевой части составляет

$$h_{ук} = 0,20 \times 2 + 0,35 = 0,75 \text{ см.}$$

ж) Определяем ширину воронки размыва по формуле (33). Предварительно находим коэффициент K по графику (рис. 18).

$$\text{При } \frac{\Delta}{h_{\max}} = \frac{0,91}{1,5} = 0,61 \text{ и } \frac{z+z'}{D} = \frac{2,25+3}{1,5} = 3,5$$

$$K = 0,40. \text{ Тогда } B_{\min} = \frac{3,6}{0,40} \cdot 0,91 = 8,2 \text{ м.}$$

з) Определяем ширину воронки размыва у подошвы по формуле (63)

$$B_{\min} = B'_{\min} + 2\Delta h_{\max} = 8,2 + 2 \cdot 0,91 \approx 10 \text{ м} > B_{\text{расг}} = 9,4 \text{ м.}$$

Принимаем ширину укрепления $B = 10 \text{ м}$.

В конце укрепления устраиваем каменную рисберму треугольной формы глубиной 75 см с откосами: верховым 1:2 и низовым 1:1,5.

Для дополнительной гарантии от выноса мелких частиц и из-под основания насыпи устраиваем у ее подошвы обратный фильтр на высоту 0,5 м.

Основные размеры выходного русла заданной трубы, полученные в результате расчета, приведены на рис. 4 приложения.

ОГЛАВЛЕНИЕ

ПРЕДИСЛОВИЕ	3
1. ОБЩИЕ ПОЛОЖЕНИЯ	4
2. ОПРЕДЕЛЕНИЕ ПРОПУСКНОЙ СПОСОБНОСТИ ТРУБ	
"Длинная" и "короткая" трубы. Учет влияния нижнего бьефа	5
Режимы протекания потока	9
Безнапорные и полупонапорные трубы	14
Напорные и частично-напорные трубы	17
Глубины и скорости потока на выходе из труб	24
Особенности расчета многоочковых и многоярусных труб	24
3. РАСЧЕТ НИЖНЕГО БЬЕФА ТРУБ В РАВНИННЫХ УСЛОВИЯХ	30
Типы выходных русел	30
Выходные русла с укреплениями из каменной наброски	31
Выходные русла с укреплениями из каменной наброски и бетонных блоков	35
4. ОСОБЕННОСТИ РАСЧЕТА РАЗМЫВА И НАЗНАЧЕНИЯ РАЗМЕРА УКРЕПЛЕНИЯ ЗА КОСОГОРЦАМИ ТРУБАМИ ...	40
Основные положения	40
Укладка труб с уклоном лога при укреп- лениях из крупных бетонных олоков	43
Отвод воды по укрепленному откосу насыпи в берме	45
Отвод воды на берму и откос насыпи отсыпанной из камня	47
Сброс потока в лотки, уложенные на откосе насыпи	47
ПРИЛОЖЕНИЕ. Примеры расчетов	63